

JAERI-M  
85-043

化学蒸着SiCの熱力学計算

1985年3月

漆 和生・福田 幸朔・井川 勝市

日本原子力研究所  
Japan Atomic Energy Research Institute

JAERI-M レポートは、日本原子力研究所が不定期に公刊している研究報告書です。

入手の問合せは、日本原子力研究所技術情報部情報資料課（〒319-11 茨城県那珂郡東海村）  
あて、お申しこしください。なお、このほかに財団法人原子力弘済会資料センター（〒319-11 茨城  
県那珂郡東海村日本原子力研究所内）で複写による実費頒布をおこなっております。

JAERI-M reports are issued irregularly.

Inquiries about availability of the reports should be addressed to Information Division, Department  
of Technical Information, Japan Atomic Energy Research Institute, Tokai-mura, Naka-gun,  
Ibaraki-ken 319-11, Japan.

© Japan Atomic Energy Research Institute, 1985

---

編集兼発行 日本原子力研究所  
印 刷 山田軽印刷所

化学蒸着 SiC の熱力学計算

日本原子力研究所東海研究所燃料工学部

湊 和生・福田 幸朔・井川 勝市

(1985年2月12日受理)

自由エネルギー最小化法に基づく計算コード SOLGASMI X-PV を用いて,  $\text{CH}_3\text{SiCl}_3$ - $\text{H}_2$ -Ar 系の熱力学計算を行ない, CVD-状態図を得た。条件により,  $\beta$ -SiC,  $\beta$ -SiC+C(s),  $\beta$ -SiC+Si(s),  $\beta$ -SiC+Si(l), Si(s), Si(l), またはC(s) が蒸着する領域があることがわかった。また,  $\text{CH}_3\text{SiCl}_3$ -Ar 系では,  $\beta$ -SiC+C(s) またはC(s) が蒸着することがわかった。これらの計算結果と報告されている蒸着実験結果と比較した結果,  $\beta$ -SiC が蒸着すると予測された領域の高温部(約 2000 K以上)で  $\beta$ -SiC+C(s) が, 低温部(約 1700 K以下)で  $\beta$ -SiC+Si(s) がそれぞれ蒸着しており, SiCの蒸着機構を考察する上で重要な結果を得た。

Thermodynamic Calculations for  
Chemical Vapor Deposition of Silicon Carbide

Kazuo MINATO, Kousaku FUKUDA and Katsuichi IKAWA

Department of Fuels and Materials Research,  
Tokai Research Establishment, JAERI

( Received February 12, 1985 )

The composition of vapor and condensed phases at equilibrium and CVD phase diagrams were calculated for the  $\text{CH}_3\text{SiCl}_3\text{-H}_2\text{-Ar}$  system using a computer code SOLGASMIX-PV, which is based on the free energy minimization method. These calculations showed that  $\beta\text{-SiC}$ ,  $\beta\text{-SiC+C(s)}$ ,  $\beta\text{-SiC+Si(s)}$ ,  $\beta\text{-SiC+Si(l)}$ ,  $\text{Si(s)}$ ,  $\text{Si(l)}$ , or  $\text{C(s)}$  would be deposited depending on deposition parameters. In the  $\text{CH}_3\text{SiCl}_3\text{-Ar}$  system, condensed phase was found to be  $\beta\text{-SiC+C(s)}$  or  $\text{C(s)}$ . Comparing the calculated CVD phase diagrams with the experimental results from the literature,  $\beta\text{-SiC+C(s)}$  and  $\beta\text{-SiC+Si(s)}$  were deposited in the experiments at the high temperature (more than 2000K) and low temperature (less than 1700K) parts of a resion, respectively, where only  $\beta\text{-SiC}$  would be deposited in the calculations. These are remakable results to consider the deposition mechanism of silicon carbide.

Keywords:

HTGR Fuel, Coated Fuel Particles, Silicon Carbide, Phase Diagram, Gibbs Free Energy, Chemical Vapor Deposition, Thermodynamic Calculation

## 目 次

1. はじめに .....	1
2. 計算方法 .....	1
2.1 自由エネルギー最小化法 .....	1
2.2 入力データ .....	3
3. 計算結果 .....	3
3.1 $\text{CH}_3\text{SiCl}_3 - \text{H}_2$ 系 .....	3
3.2 $\text{CH}_3\text{SiCl}_3 - \text{Ar}$ 系 .....	5
3.3 $\text{CH}_3\text{SiCl}_3 - \text{H}_2 - \text{Ar}$ 系 .....	6
4. 考察 .....	6
4.1 報告されている熱力学計算結果との比較 .....	6
4.2 報告されている蒸着実験結果との比較 .....	7
5. 結論 .....	8
謝辞 .....	9
参考文献 .....	10

## Contents

1. Introduction .....	1
2. Method of calculation .....	1
2.1 Minimization of the total Gibbs free energy .....	1
2.2 Input data .....	3
3. Results .....	3
3.1 CH <sub>3</sub> SiCl <sub>3</sub> -H <sub>2</sub> system .....	3
3.2 CH <sub>3</sub> SiCl <sub>3</sub> -Ar system .....	5
3.3 CH <sub>3</sub> SiCl <sub>3</sub> -H <sub>2</sub> -Ar system .....	6
4. Discussion .....	6
4.1 Comparison with calculated results from the literature .....	6
4.2 Comparison with experimental results from the literature .....	7
5. Conclusions .....	8
Acknowledgements .....	9
References .....	10

**List of Table**

Table 1 Species considered in the calculations.

**List of Figures**

- Fig. 1 Equilibrium composition of vapor and condensed phases in the H<sub>2</sub>-MTS system at 1000K and 1atm.
- Fig. 2 Equilibrium composition of vapor and condensed phases in the H<sub>2</sub>-MTS system at 1400K and 1atm.
- Fig. 3 Equilibrium composition of vapor and condensed phases in the H<sub>2</sub>-MTS system at 1800K and 1atm.
- Fig. 4 Equilibrium composition of vapor and condensed phases in the H<sub>2</sub>-MTS system at 2200K and 1atm.
- Fig. 5 CVD phase diagram for the H<sub>2</sub>-MTS system at 1atm.
- Fig. 6 Isoefficiency lines for the deposition of condensed phases in the H<sub>2</sub>-MTS system at 1atm.
- Fig. 7 Isoefficiency lines for the Si containing gaseous species in the H<sub>2</sub>-MTS system at 1atm.
- Fig. 8 Isoefficiency lines for the C containing gaseous species in the H<sub>2</sub>-MTS system at 1atm.
- Fig. 9 Overall equations in the H<sub>2</sub>-MTS system at 1atm.
- Fig. 10 Equilibrium composition of vapor and condensed phases in the Ar-MTS system at 1000K and 1atm.

- Fig. 11 Equilibrium composition of vapor and condensed phases in the Ar-MTS system at 1400K and 1atm.
- Fig. 12 Equilibrium composition of vapor and condensed phases in the Ar-MTS system at 1800K and 1atm.
- Fig. 13 Equilibrium composition of vapor and condensed phases in the Ar-MTS system at 2200K and 1atm.
- Fig. 14 CVD phase diagram for the Ar-MTS system at 1atm.
- Fig. 15 Isoefficiency lines for the deposition of  $\beta$ -SiC in the Ar-MTS system at 1atm.
- Fig. 16 Isoefficiency lines for the gaseous species in the Ar-MTS system at 1atm.
- Fig. 17 Overall equations in the Ar-MTS system at 1atm.
- Fig. 18 CVD phase diagram for the  $H_2$ -Ar-MTS system at 1atm and  $(H_2+Ar)/MTS=20$ .
- Fig. 19 CVD phase diagram for the  $H_2$ -Ar-MTS system at 1atm and  $(H_2+Ar)/MTS=10^2$ .
- Fig. 20 CVD phase diagram for the  $H_2$ -Ar-MTS system at 1atm and  $(H_2+Ar)/MTS=10^3$ .
- Fig. 21 CVD phase diagram for the  $H_2$ -Ar-MTS system at 1atm and  $(H_2+Ar)/MTS=10^4$ .
- Fig. 22 Comparison between calculated CVD Phase diagram and experimental results in the  $H_2$ -MTS system at 1atm.
- Fig. 23 Comparison between calculated CVD phase diagram and experimental results in the  $H_2$ -Ar-MTS system at 1atm and  $(H_2+Ar)/MTS=30$ .
- Fig. 24 Comparison between calculated CVD phase diagram and experimental results in the  $H_2$ -Ar-MTS system at 1atm and  $(H_2+Ar)/MTS=50$ .

## 1. はじめに

高温ガス炉（HTGR）においては、熱分解炭素（PyC）および化学蒸着炭化ケイ素（CVD-SiC）により燃料核を四重に被覆した、被覆燃料粒子が用いられる。これらの被覆層は、核分裂生成物（FP）を粒内に保持する機能を有している。SiC被覆層は、高温照射下での優れた機械的健全性を有するとともに、固体状FPの拡散障壁として重要である。

被覆燃料粒子のSiC被覆層は、高密度PyC被覆層の上に、流動床で蒸着される。反応物質として、メチルトリクロルシラン( $\text{CH}_3\text{SiCl}_3$ , MTS)および水素( $\text{H}_2$ )を用いるのが一般的である。また、流動ガスとして、アルゴン(Ar)を加えることも行なわれている。

SiC被覆層の照射特性およびFP拡散挙動などは、蒸着物の性状に、言い換えると、蒸着条件(温度、圧力、速度、 $\text{H}_2/\text{MTS}$ ,  $\text{H}_2/\text{Ar}$ 等)に、大きく影響されると考えられる。<sup>(1-3)</sup>したがって、蒸着条件と蒸着物の性状との関係、とくに蒸着物組成との関係を明らかにすることは、極めて重要である。

MTSおよび $\text{H}_2$ を反応物質に用いた、SiC被覆層の蒸着実験および製造は、数々報告されており、<sup>(4)</sup>蒸着条件と蒸着物組成との関係、すなわち、 $\beta$ -SiCのみが蒸着される条件および遊離SiまたはCが蒸着される条件等は、個々の狭い実験条件の範囲内では得られている。しかしながら、これらの結果をまとめ、SiCの蒸着機構を明らかにして行こうという研究は、まだ充分ではない。

ここでは、蒸着条件と蒸着物組成との関係、および蒸着機構を解明するための第1歩として、CVD-SiCの化学平衡状態を熱力学計算によって求めた。また、報告されている数々のSiC蒸着実験の結果と、ここでの計算結果とを比較した。

なお、CVD-SiCは、種々の反応物質から製造が可能であるが、ここでは、被覆燃料粒子のSiC被覆層の蒸着を念頭に置いているため、 $\text{CH}_3\text{SiCl}_3-\text{H}_2-\text{Ar}$ についてのみ対象とした。<sup>(5)</sup>他の系については、Kingonらの報告<sup>(6)</sup>を参照されたい。

## 2. 計算方法

### 2.1 自由エネルギー最小化法

多相化学平衡計算プログラム SOLGASMIX-PV<sup>(6)</sup>を用いた。このプログラムは、ある系が化学平衡にあれば、系全体の自由エネルギーは最小である、という原理に基づき、平衡組成を計算するものである。したがって、この方法では、化学反応式を予め推定する必要はない。この方法は、White<sup>(7)</sup>によって開発され、その後、Erikson<sup>(8-10)</sup>およびBesmann<sup>(6)</sup>によって発展させられてきた。

以下に、自由エネルギー最小化法について簡単に述べる。

## 1. はじめに

高温ガス炉（HTGR）においては、熱分解炭素（PyC）および化学蒸着炭化ケイ素（CVD-SiC）により燃料核を四重に被覆した、被覆燃料粒子が用いられる。これらの被覆層は、核分裂生成物（FP）を粒内に保持する機能を有している。SiC被覆層は、高温照射下での優れた機械的健全性を有するとともに、固体状FPの拡散障壁として重要である。

被覆燃料粒子のSiC被覆層は、高密度PyC被覆層の上に、流動床で蒸着される。反応物質として、メチルトリクロルシラン( $\text{CH}_3\text{SiCl}_3$ , MTS)および水素( $\text{H}_2$ )を用いるのが一般的である。また、流動ガスとして、アルゴン(Ar)を加えることも行なわれている。

SiC被覆層の照射特性およびFP拡散挙動などは、蒸着物の性状に、言い換えると、蒸着条件(温度、圧力、速度、 $\text{H}_2$ /MTS、 $\text{H}_2$ /Ar等)に、大きく影響されると考えられる。<sup>(1-3)</sup>したがって、蒸着条件と蒸着物の性状との関係、とくに蒸着物組成との関係を明らかにすることは、極めて重要である。

MTSおよび $\text{H}_2$ を反応物質に用いた、SiC被覆層の蒸着実験および製造は、数々報告されており、<sup>(4)</sup>蒸着条件と蒸着物組成との関係、すなわち、 $\beta$ -SiCのみが蒸着される条件および遊離SiまたはCが蒸着される条件等は、個々の狭い実験条件の範囲内では得られている。しかしながら、これらの結果をまとめ、SiCの蒸着機構を明らかにして行こうという研究は、まだ充分ではない。

ここでは、蒸着条件と蒸着物組成との関係、および蒸着機構を解明するための第1歩として、CVD-SiCの化学平衡状態を熱力学計算によって求めた。また、報告されている数々のSiC蒸着実験の結果と、ここで計算結果とを比較した。

なお、CVD-SiCは、種々の反応物質から製造が可能であるが、ここでは、被覆燃料粒子のSiC被覆層の蒸着を念頭に置いているため、 $\text{CH}_3\text{SiCl}_3-\text{H}_2-\text{Ar}$ についてのみ対象とした。<sup>(5)</sup>他の系については、Kingonらの報告<sup>(6)</sup>を参照されたい。

## 2. 計 算 方 法

### 2.1 自由エネルギー最小化法

多相化学平衡計算プログラム SOLGASMIX-PV<sup>(6)</sup>を用いた。このプログラムは、ある系が化学平衡にあれば、系全体の自由エネルギーは最小である、という原理に基づき、平衡組成を計算するものである。したがって、この方法では、化学反応式を予め推定する必要はない。この方法は、White<sup>(7)</sup>によって開発され、その後、Erikson<sup>(8-10)</sup>およびBesmann<sup>(6)</sup>によって発展させてきた。

以下に、自由エネルギー最小化法について簡単に述べる。

ある化学系の全自由エネルギーは、次式で表わされる。

$$\begin{aligned} G &= \sum_i n_i g_i \\ &= \sum_i n_i (g_i^0 + RT \ln a_i) \end{aligned} \quad (2-1)$$

ここで、 $G$ ：系全体の自由エネルギー

$R$ ：気体定数

$T$ ：絶対温度

$n_i$ ：化学種  $i$  のモル数

$g_i^0$ ：化学種  $i$  の標準状態の化学ポテンシャル

$a_i$ ：化学種  $i$  の活量

理想気体、理想液体、および理想溶体を仮定し、無次元量  $G/RT$  を導入すると、(2-1)式は、つぎのように書き改められる。

$$\begin{aligned} G/RT &= \sum_{p=1}^1 \sum_{i=1}^{m_p} n_{pi} [(g_i^0/RT)_{pi} + \ln P + \ln (n_{pi}/N_p)] \\ &\quad + \sum_{p=2}^{q+1} \sum_{i=1}^{m_p} n_{pi} [(g_i^0/RT)_{pi} + \ln (n_{pi}/N_p)] \\ &\quad + \sum_{p=q+2}^{q+s+1} \sum_{i=1}^{m_p} n_{pi} (g_i^0/RT)_{pi} \end{aligned} \quad (2-2)$$

ここで、 $N_p$ ：相  $p$  中の化学種の全モル数

$m_p$ ：相  $p$  中の化学種の数

$P$ ：系全圧

(2-2)式において、 $p=1$ を気相、 $p=2\sim(q+1)$ を溶体と液体の混合凝縮相、および $p=(q+2)\sim(q+s+1)$ を組成不変の凝縮相とする。

全元素の質量が保存されなければならないので、次式の条件が加わる。

$$\sum_{p=1}^{q+s+1} \sum_{i=1}^{m_p} a_{pij} n_{pi} = b_j \quad (j = 1, 2, \dots, l) \quad (2-3)$$

ここで、 $a_{pij}$ ：相  $p$  中の化学種  $i$  における元素  $j$  の原子数

$b_j$ ：元素  $j$  のグラム原子数

$l$ ：全元素数

自由エネルギー最小化法は、(2-3)式の条件の基に、(2-2)式の値を最小にする  $n_{pi}$  の組を求ることである。このとき、 $(g_i^0/RT)_{pi}$  は既知でなければならない。

熱力学量  $g^0/RT$  は、つぎに示す2通りの方式によって計算できる。

$$g^0/RT = A_f G^0/RT \quad (2-4)$$

ここで、 $A_f G^0$ ：生成のギブス自由エネルギー

または、

$$g^0 / RT = (1/R) [(G^0 - H_{298}^0) / T] + \Delta_f H_{298}^0 / RT \quad (2-5)$$

ここで、 $(G^0 - H_{298}^0) / T$ ：自由エネルギー関数

$\Delta_f H_{298}^0$  : 298 Kにおける生成エンタルピー

したがって、存在が予想される化学種について、 $\Delta_f G^0$ 、または、 $(G^0 - H_{298}^0) / T$ および $\Delta_f H_{298}^0$ の熱力学定数を入力データとすることにより、ある系の化学平衡組成を計算することができる。

## 2.2 入力データ

$\text{CH}_3\text{SiCl}_3-\text{H}_2-\text{Ar}$ 系の化学平衡組成を計算するために、42種類の化学種を考慮した。重要な化学種を計算対象から漏らさないように、化学種の数は多く採った。計算の対象にした化学種を、Table 1 に示す。この中で特に重要なものは、気相では、 $\text{H}_2$ ,  $\text{CH}_4$ ,  $\text{C}_2\text{H}_2$ ,  $\text{CH}_3$ ,  $\text{SiCl}_2$ ,  $\text{SiCl}_3$ ,  $\text{SiCl}_4$ ,  $\text{SiH}_3\text{Cl}$ ,  $\text{SiH}_4$ ,  $\text{SiH}$ 、および $\text{Si}$ 、凝縮相では、 $\beta-\text{SiC}$ ,  $\text{Si}$ および $\text{C}$ （graphite）である。

入力の熱力学定数として、自由エネルギー関数  $(G^0 - H_{298}^0) / T$ 、および298 Kにおける生成エンタルピー  $\Delta_f H_{298}^0$  を用いた。<sup>(11)</sup>これらの値は、JANAF熱化学表<sup>(12)</sup>から採った。ただし、Arについては、他の熱力学表<sup>(12)</sup>から採った。

$\text{CH}_3\text{SiCl}_3-\text{H}_2-\text{Ar}$ 系では、温度、圧力、 $\text{H}_2 / \text{MTS}$ モル比、および $\text{H}_2 / \text{Ar}$ モル比が可変である。温度は1000 K～2200 Kの範囲を対象とした。圧力は1気圧とした。モル比は、実験条件と対比させやすいように、入力の $\text{H}_2$ ,  $\text{Ar}$ 、およびMTSの量を基準に、 $(\text{H}_2 + \text{Ar}) / \text{MTS}$ 、および $\text{Ar} / (\text{H}_2 + \text{Ar})$ を変数とした。また、MTSは、1分子あたり $\text{Si}$ および $\text{C}$ 原子を1個ずつ含んでいるので、反応生成物( $x_i$ )の量は、入力のMTSの量とのモル比( $x_i / \text{MTS}$ )で表わした。

$\text{CH}_3\text{SiCl}_3-\text{H}_2-\text{Ar}$ 系の計算を行なう前に、その両極端である、 $\text{CH}_3\text{SiCl}_3-\text{H}_2$ 系および $\text{CH}_3\text{SiCl}_3-\text{Ar}$ 系について計算を行なった。その後、それらの知見をもとに、 $\text{CH}_3\text{SiCl}_3-\text{H}_2-\text{Ar}$ について計算した。

## 3. 計 算 結 果

### 3.1 $\text{CH}_3\text{SiCl}_3-\text{H}_2$ 系

この系では、温度および $\text{H}_2 / \text{MTS}$ を変数とした。 $\text{H}_2 / \text{MTS} = 1 \sim 10^6$  の間で変化させたときの化学平衡組成を、温度が1000 K, 1400 K, 1800 K, および2200 Kの場合について、Fig. 1 ~ Fig. 4 に示す。これらの図で、縦軸は反応生成物 $x_i$ とMTSのモル百分率( $(x_i / \text{MTS}) \times 100$ )を、横軸は $\text{H}_2$ とMTSのモル比( $\text{H}_2 / \text{MTS}$ )を、それぞれ表わしている。なお、 $\text{HCl}$ はほ

または、

$$g^0 / RT = (1/R) [(G^0 - H_{298}^0) / T] + \Delta_f H_{298}^0 / RT \quad (2-5)$$

ここで、 $(G^0 - H_{298}^0) / T$ ：自由エネルギー関数

$\Delta_f H_{298}^0$  : 298 Kにおける生成エンタルピー

したがって、存在が予想される化学種について、 $\Delta_f G^0$ 、または、 $(G^0 - H_{298}^0) / T$ および $\Delta_f H_{298}^0$ の熱力学定数を入力データとすることにより、ある系の化学平衡組成を計算することができる。

## 2.2 入力データ

$\text{CH}_3\text{SiCl}_3-\text{H}_2-\text{Ar}$ 系の化学平衡組成を計算するために、42種類の化学種を考慮した。重要な化学種を計算対象から漏らさないように、化学種の数は多く採った。計算の対象にした化学種を、Table 1 に示す。この中で特に重要なものは、気相では、 $\text{H}_2$ ,  $\text{CH}_4$ ,  $\text{C}_2\text{H}_2$ ,  $\text{CH}_3$ ,  $\text{SiCl}_2$ ,  $\text{SiCl}_3$ ,  $\text{SiCl}_4$ ,  $\text{SiH}_3\text{Cl}$ ,  $\text{SiH}_4$ ,  $\text{SiH}$ 、および $\text{Si}$ 、凝縮相では、 $\beta-\text{SiC}$ ,  $\text{Si}$ および $\text{C}$ （graphite）である。

入力の熱力学定数として、自由エネルギー関数  $(G^0 - H_{298}^0) / T$ 、および298 Kにおける生成エンタルピー  $\Delta_f H_{298}^0$  を用いた。これらの値は、JANAF熱化学表<sup>(11)</sup>から採った。ただし、Arについては、他の熱力学表<sup>(12)</sup>から採った。

$\text{CH}_3\text{SiCl}_3-\text{H}_2-\text{Ar}$ 系では、温度、圧力、 $\text{H}_2 / \text{MTS}$ モル比、および $\text{H}_2 / \text{Ar}$ モル比が可変である。温度は1000 K～2200 Kの範囲を対象とした。圧力は1気圧とした。モル比は、実験条件と対比させやすいように、入力の $\text{H}_2$ ,  $\text{Ar}$ 、およびMTSの量を基準に、 $(\text{H}_2 + \text{Ar}) / \text{MTS}$ 、および $\text{Ar} / (\text{H}_2 + \text{Ar})$ を変数とした。また、MTSは、1分子あたり $\text{Si}$ および $\text{C}$ 原子を1個ずつ含んでいるので、反応生成物( $x_i$ )の量は、入力のMTSの量とのモル比( $x_i / \text{MTS}$ )で表わした。

$\text{CH}_3\text{SiCl}_3-\text{H}_2-\text{Ar}$ 系の計算を行なう前に、その両極端である、 $\text{CH}_3\text{SiCl}_3-\text{H}_2$ 系および $\text{CH}_3\text{SiCl}_3-\text{Ar}$ 系について計算を行なった。その後、それらの知見をもとに、 $\text{CH}_3\text{SiCl}_3-\text{H}_2-\text{Ar}$ について計算した。

## 3. 計 算 結 果

### 3.1 $\text{CH}_3\text{SiCl}_3-\text{H}_2$ 系

この系では、温度および $\text{H}_2 / \text{MTS}$ を変数とした。 $\text{H}_2 / \text{MTS} = 1 \sim 10^6$  の間で変化させたときの化学平衡組成を、温度が1000 K, 1400 K, 1800 K, および2200 Kの場合について、Fig. 1 ~ Fig. 4 に示す。これらの図で、縦軸は反応生成物 $x_i$ とMTSのモル百分率( $(x_i / \text{MTS}) \times 100$ )を、横軸は $\text{H}_2$ とMTSのモル比( $\text{H}_2 / \text{MTS}$ )を、それぞれ表わしている。なお、 $\text{HCl}$ はほ

とんどの条件で、 $H_2$ はすべての条件で、図に示せないほど大量に存在していた。

温度が1000Kのときには、 $H_2$  / MTSに依存して、Cおよび $\beta$ -SiCが凝縮する領域、 $\beta$ -SiCのみが凝縮する領域、ならびに何も凝縮しない領域に分けられる。 $\beta$ -SiCの収率は、最高で約60%である。気相には、 $H_2$ の他に、 $HCl$ 、 $SiCl_4$ 、 $SiH_3Cl$ 、 $CH_4$ などが存在している。

温度が1400Kのときには、Cおよび $\beta$ -SiCの他に、Siが凝縮相に現われる。 $\beta$ -SiCの収率は、最高で95%を越えており、また、 $\beta$ -SiCだけが凝縮する領域は、1000Kの場合よりも広くなっている。気相には、 $H_2$ 、 $HCl$ 、 $SiCl_4$ 、 $SiCl_3$ 、 $SiCl_2$ 、 $SiH_3Cl$ 、 $CH_4$ 、 $SiH_4$ などがある。

温度が1800Kの場合には、1600Kの場合と同様に、C、 $\beta$ -SiC、およびSiが凝縮する領域がある。気相には、1600Kの場合にはほとんど存在していなかった、 $SiH$ およびSiが現われている。

温度が2200Kのときには、凝縮相にはSiは現われず、1400Kの場合と同様に、Cおよび $\beta$ -SiCが凝縮する。気相には、 $H_2$ 、 $HCl$ の他に、 $SiCl_2$ 、 $SiCl_3$ 、Si、 $SiH$ 、 $CH_4$ 、 $C_2H_2$ 、 $CH_3$ 、 $Si_2C$ などが存在している。

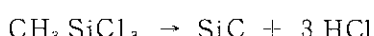
これら各温度における化学平衡組成をもとに、CVD-状態図（Fig. 5）、および等効率線図（Fig. 6～Fig. 8）を作成した。CVD-状態図は、化学平衡状態において、凝縮相として何が存在するかを示したものである。

$CH_3SiCl_3-H_2$ 系のCVD-状態図は、Fig. 5に示すように、ここで計算範囲では、 $\beta$ -SiC + C(s)、 $\beta$ -SiC、 $\beta$ -SiC+Si(l)、 $\beta$ -SiC+Si(s)、Si(l)、およびSi(s)がそれぞれ凝縮する6領域、ならびに何も凝縮しない領域、の合計7領域に分けられることがわかる。凝縮相のC、 $\beta$ -SiC、およびSiの等効率線図を、Fig. 6に示す。 $\beta$ -SiCのみが効率よく凝縮する領域は、温度1600～1900K、 $H_2$  / MTS = 50～500付近であることがわかる。これらのCVD-状態図および等効率線図は、実際に蒸着を行なう場合に、蒸着条件を決めるのにたいへん有用である。

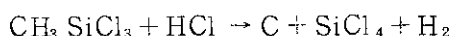
気相に存在するSiを含む化学種の等効率線図を、Fig. 7に示す。ここでは、収率が10%以上の化学種のみを対象とした。温度および $H_2$  / MTSに依存して、 $SiCl_2$ 、 $SiCl_3$ 、 $SiCl_4$ 、 $SiH_3Cl$ 、Si、 $SiH$ 、および $SiH_4$ が存在することがわかる。図の中央部では、気相にSiを含んだ化学種は少なくなっているが、これは、 $\beta$ -SiCが高い効率で凝縮する領域に対応している。

同様に、気相に存在するCを含む化学種の等効率線図を、Fig. 8に示す。ここでも同様に、収率が10%以上の化学種のみを対象とした。 $CH_4$ 、 $C_2H_2$ 、および $CH_3$ が現われているが、ここでの範囲では、 $CH_4$ が圧倒的に多いことがわかる。図の左上半分では、気相にCを含んだ化学種は少なくなっているが、これは、Cまたは $\beta$ -SiCが高い効率で凝縮する領域に対応している。

CVD-状態図（Fig. 5）、および等効率線図（Fig. 6～Fig. 8）を見比べることにより、物質収支から、各条件において、全体としてどのような反応が起きているのかがわかる。たとえば、温度1800Kおよび $H_2$  / MTS = 10<sup>2</sup>のときは、気相にはCおよびSiを含む化学種はほとんど存在せず、 $HCl$ が存在し、 $\beta$ -SiCが凝縮することから、つぎの反応が導き出せる。



また、温度 1200K および  $H_2 / MTS = 1$  のときは、気相に  $SiCl_4$  と  $HCl$  が存在し、C と  $\beta$ -SiC が凝縮することから、つぎの反応が導き出せる。



このようにして得られた、各条件における全体としての反応を、Fig. 9にまとめて示す。温度および  $H_2 / MTS$  の変化に応じて、反応も変化していくことがわかる。

### 3.2 $CH_3SiCl_3 - Ar$ 系

この系では、温度および  $Ar / MTS$  を変数とした。 $Ar / MTS = 1 \sim 10^6$  の間で変化させたときの化学平衡組成を、温度が 1000K, 1400K, 1800K, および 2200K の場合について、Fig. 10 ~ Fig. 13 に示す。これらの図で、縦軸は反応生成物  $x_i$  と MTS のモル百分率を、横軸は Ar と MTS のモル比を、それぞれ表わしている。なお、 $HCl$  は、ほとんどの条件で、図に示せないほど大量に存在していた。

温度が 1000K のときには、 $Ar / MTS = 1 \sim 10^6$  の全範囲で C と  $\beta$ -SiC が凝縮する。Ar/MTS の増加とともに、 $\beta$ -SiC は増加し、C は減少する。 $Ar / MTS = 4 \times 10^3$  付近で、 $\beta$ -SiC と C の凝縮量が逆転する。気相には、 $HCl$ ,  $H_2$ ,  $SiCl_4$ ,  $SiCl_3$ ,  $CH_4$  などが存在している。

温度が 1400K のときにも、 $Ar / MTS = 1 \sim 10^6$  の全範囲で C と  $\beta$ -SiC が凝縮する。Ar/MTS の増加とともに、 $\beta$ -SiC は増加し、C は減少する。 $Ar / MTS = 10$  付近で、 $\beta$ -SiC と C の凝縮量が逆転する。気相には、 $HCl$ ,  $H_2$ ,  $SiCl_4$ ,  $SiCl_3$ ,  $SiCl_2$  などが存在している。

温度が 1800K のときにも、 $\beta$ -SiC および C の凝縮の傾向は、1000K および 1400K の場合と同様である。 $\beta$ -SiC と C の量が逆転するのは、 $Ar / MTS = 5 \times 10^4$  付近である。気相には、 $HCl$ ,  $H_2$ ,  $SiCl_2$ ,  $SiCl_3$ ,  $SiCl_4$ ,  $Si$  などが存在している。

温度が 2200K のときには、今まで見てきた 3 つの温度の場合とは、様子が少し異なる。C は  $Ar / MTS = 1 \sim 10^6$  の全範囲で凝縮するが、 $\beta$ -SiC は  $Ar / MTS = 1 \sim 7 \times 10^3$  付近の間でしか凝縮しない。 $Ar / MTS = 1 \sim 10^6$  の全範囲で、C の方が SiC よりも凝縮量が常に多い。気相には、 $HCl$ ,  $H_2$ ,  $H$ ,  $SiCl_2$ ,  $SiCl_3$ ,  $Si$ ,  $SiCl$ ,  $Si_2C$ ,  $SiC_2$  などが存在している。

3.1 節の場合と同様に、これらの各温度における化学平衡組成をもとに、CVD-状態図 (Fig. 14)、および等効率線図 (Fig. 15, Fig. 16) を作成した。

$CH_3SiCl_3 - Ar$  系の CVD-状態図は、Fig. 14 に示すように、ここで計算範囲では、 $\beta$ -SiC + C および C がそれぞれ凝縮する 2 領域に分けられることがわかる。この系では、 $\beta$ -SiC だけが凝縮する領域は存在しないことがわかる。 $\beta$ -SiC の等効率線図を、Fig. 15 に示す。温度が低く、 $Ar / MTS$  が大きい方が、 $\beta$ -SiC の収率は大きいことがわかる。また、Fig. 10 ~ Fig. 13 で見たように、気相には C を含む化学種はほとんど存在せず、C 原子は、C または SiC の形で凝縮している。したがって、Fig. 15において、たとえば、SiC 80% を C 20% と読み換えることによって、C の等効率線図と見ることもできる。

気相に存在する Si を含む化学種の等効率線図を、Fig. 16 に示す。ここでは、収率が 10% 以

上の化学種のみを対象とした。温度およびAr/MTSに依存して、 $\text{SiCl}_2$ ,  $\text{SiCl}_3$ ,  $\text{SiCl}_4$ , Siが存在することがわかる。

3.1節の場合と同様に、CVD-状態図(Fig. 14)、および等効率線図(Fig. 15, Fig. 16)を見比べることにより、物質収支から、各条件において、全体としてどのような反応が起きているのかがわかる。これをFig. 17にまとめて示す。

### 3.3 $\text{CH}_3\text{SiCl}_3-\text{H}_2-\text{Ar}$ 系

この系では、温度、 $(\text{H}_2+\text{Ar})/\text{MTS}$ 、およびAr/ $(\text{H}_2+\text{Ar})$ を変数とした。この系で、 $\text{H}_2$ またはArが0モルの場合が、3.1および3.2節で扱った系である。

温度を1000~2200K、およびAr/ $(\text{H}_2+\text{Ar})$ モル比を0~100%に変化させたときのCVD-状態図を、 $(\text{H}_2+\text{Ar})/\text{MTS}$ モル比が、20,  $10^2$ ,  $10^3$ 、および $10^4$ の場合について、Fig. 18~Fig. 21にそれぞれ示す。

Ar/ $(\text{H}_2+\text{Ar})$ モル比が100%のときには、前節でも示したように、 $\beta$ -SiC単相の領域は存在しないが、 $\text{H}_2$ が加わることにより、条件によっては $\beta$ -SiC単相の領域が出現することがわかる。このことは、蒸着機構を検討する上で、重要である。

## 4. 考察

### 4.1 報告されている熱力学計算結果との比較

$\text{CH}_3\text{SiCl}_3-\text{H}_2-\text{Ar}$ 系の熱力学計算は、今までに、3例が報告されている。<sup>(5, 13, 14)</sup>

Turpin & Robert<sup>(13)</sup>は、 $\text{CH}_3\text{SiCl}_3-\text{H}_2-\text{CH}_4$ 系について、温度が1200K, 1300Kおよび1400KにおけるCVD-状態図を計算している。計算方法は記述されていないが、JANAF熱化学表のデータを用いている。 $\text{CH}_4$ が0モルの場合に限り、3.1節の結果と比較できる。Turpin & Robertの結果では、温度1200Kおよび1300Kのときには、 $\text{H}_2/\text{MTS} < \sim 5$ のとき $\text{C} + \text{SiC}$ ,  $\text{H}_2/\text{MTS} > \sim 5$ のとき $\text{SiC}$ が、それぞれ凝縮する。温度1400Kのときには、 $\text{H}_2/\text{MTS} < \sim 5$ のとき $\text{C} + \text{SiC}$ ,  $\sim 5 < \text{H}_2/\text{MTS} < \sim 1000$ のとき $\text{SiC}$ ,  $\sim 1000 < \text{H}_2/\text{MTS} < \sim 2000$ のとき $\text{C} + \text{SiC}$ ,  $\text{H}_2/\text{MTS} > \sim 2000$ のとき $\text{Si}$ が、それぞれ凝縮することが示されている。温度1400Kで、 $\sim 1000 < \text{H}_2/\text{MTS} < \sim 2000$ のときに $\text{C} + \text{SiC}$ が凝縮するということ除くと、これらの結果は、3.1節に示した結果と定性的に一致する。

Christinら<sup>(14)</sup>は、 $\text{CH}_3\text{SiCl}_3-\text{H}_2-\text{Ar}$ 系について、温度が1000K, 1200K, 1400K、および1600Kにおける平衡組成を計算している。 $\text{H}_2/\text{MTS}$ は $10^{-1} \sim 10^7$ の範囲であり、Ar/ $(\text{H}_2+\text{Ar})$ は0, 50, および100%である。計算方法は、自由エネルギー最小化法であり、熱力学データは、JANAF熱化学表などの値を用いている。Christinらの計算範囲は、ここでの計算範囲と似ており、比較しやすい。Christinらの結果と3章に示した結果とは、よく一致している。なお、Christinらは、各温度における平衡組成を示したのみで、CVD-状態図は示していない。

上の化学種のみを対象とした。温度およびAr/MTSに依存して、 $\text{SiCl}_2$ ,  $\text{SiCl}_3$ ,  $\text{SiCl}_4$ , Siが存在することがわかる。

3.1節の場合と同様に、CVD-状態図(Fig. 14)、および等効率線図(Fig. 15, Fig. 16)を見比べることにより、物質収支から、各条件において、全体としてどのような反応が起きているのかがわかる。これをFig. 17にまとめて示す。

### 3.3 $\text{CH}_3\text{SiCl}_3-\text{H}_2-\text{Ar}$ 系

この系では、温度、 $(\text{H}_2+\text{Ar})/\text{MTS}$ 、および $\text{Ar}/(\text{H}_2+\text{Ar})$ を変数とした。この系で、 $\text{H}_2$ または $\text{Ar}$ が0モルの場合が、3.1および3.2節で扱った系である。

温度を1000~2200K、および $\text{Ar}/(\text{H}_2+\text{Ar})$ モル比を0~100%に変化させたときのCVD-状態図を、 $(\text{H}_2+\text{Ar})/\text{MTS}$ モル比が、20,  $10^2$ ,  $10^3$ 、および $10^4$ の場合について、Fig. 18~Fig. 21にそれぞれ示す。

$\text{Ar}/(\text{H}_2+\text{Ar})$ モル比が100%のときには、前節でも示したように、 $\beta$ -SiC単相の領域は存在しないが、 $\text{H}_2$ が加わることにより、条件によっては $\beta$ -SiC単相の領域が出現することがわかる。このことは、蒸着機構を検討する上で、重要である。

## 4. 考察

### 4.1 報告されている熱力学計算結果との比較

$\text{CH}_3\text{SiCl}_3-\text{H}_2-\text{Ar}$ 系の熱力学計算は、今までに、3例が報告されている。<sup>(5, 13, 14)</sup>

Turpin & Robert<sup>(13)</sup>は、 $\text{CH}_3\text{SiCl}_3-\text{H}_2-\text{CH}_4$ 系について、温度が1200K, 1300Kおよび1400KにおけるCVD-状態図を計算している。計算方法は記述されていないが、JANAF熱化学表のデータを用いている。 $\text{CH}_4$ が0モルの場合に限り、3.1節の結果と比較できる。Turpin & Robertの結果では、温度1200Kおよび1300Kのときには、 $\text{H}_2/\text{MTS} < \sim 5$ のとき $\text{C} + \text{SiC}$ ,  $\text{H}_2/\text{MTS} > \sim 5$ のとき $\text{SiC}$ が、それぞれ凝縮する。温度1400Kのときには、 $\text{H}_2/\text{MTS} < \sim 5$ のとき $\text{C} + \text{SiC}$ ,  $\sim 5 < \text{H}_2/\text{MTS} < \sim 1000$ のとき $\text{SiC}$ ,  $\sim 1000 < \text{H}_2/\text{MTS} < \sim 2000$ のとき $\text{C} + \text{SiC}$ ,  $\text{H}_2/\text{MTS} > \sim 2000$ のとき $\text{Si}$ が、それぞれ凝縮することが示されている。温度1400Kで、 $\sim 1000 < \text{H}_2/\text{MTS} < \sim 2000$ のときに $\text{C} + \text{SiC}$ が凝縮するということ除くと、これらの結果は、3.1節に示した結果と定性的に一致する。

Christinら<sup>(14)</sup>は、 $\text{CH}_3\text{SiCl}_3-\text{H}_2-\text{Ar}$ 系について、温度が1000K, 1200K, 1400K、および1600Kにおける平衡組成を計算している。 $\text{H}_2/\text{MTS}$ は $10^{-1} \sim 10^7$ の範囲であり、 $\text{Ar}/(\text{H}_2+\text{Ar})$ は0, 50、および100%である。計算方法は、自由エネルギー最小化法であり、熱力学データは、JANAF熱化学表などの値を用いている。Christinらの計算範囲は、ここで計算範囲と似ており、比較しやすい。Christinらの結果と3章に示した結果とは、よく一致している。なお、Christinらは、各温度における平衡組成を示したのみで、CVD-状態図は示していない。

Kingon らは、 $\text{CH}_3\text{SiCl}_3-\text{H}_2$ 系および $\text{CH}_3\text{SiCl}_3-\text{Ar}$ 系について、温度1000~2000 Kおよび $\text{H}_2/\text{MTS} = 0 \sim 1000$ の範囲で、CVD-状態図を計算した。計算方法は、自由エネルギー最小化法であり、熱力学データは、JANAF熱化学表の値を用いている。用いた計算コードは、ここで用いたものと同じ、SOLGASMIX-PVである。Kingon らの結果と3章に示した結果とは、よく一致している。なお、Kingon らの計算範囲は、温度および $\text{H}_2/\text{MTS}$ の両方において、ここでの計算範囲よりも狭い。

このように、多相系の化学平衡を計算するのに最も適切である、自由エネルギー最小化法を用いた、Christin ら、Kingon ら、および我々の結果が、相互によく一致していることがわかる。このことは、我々の計算において、化学種の選定等が適切であったことを示し、さらに、我々の計算結果が妥当であることを示している。

#### 4.2 報告されている蒸着実験結果との比較

$\text{SiC}$ の蒸着実験は、今までに数多く報告されている。それらは、実験装置の型で、Cold wall arrangement と Hot wall arrangement に大別される。<sup>(4)</sup> Cold wall arrangement とは、蒸着される物 (base material) のみを反応ガス中で加熱する方式である。Hot wall arrangement とは、反応容器内に蒸着される物を入れ、反応容器とともに加熱する方式である。流動床は、Hot wall arrangement に区分される。

熱力学計算結果と比較するために、数多くの文献を調べたが、<sup>(14)~(63)</sup> 計算結果と定量的に比較できるものは、調査した文献の半数にも満たなかった。なぜならば、実験条件の記載が不充分であるもの、および蒸着物組成の分析を行なっていないものが多いからである。これらは、実験の重点が他の所に置かれていたためと考えられる。

$\text{CH}_3\text{SiCl}_3-\text{H}_2$ 系の蒸着実験結果を、CVD-状態図とともに、Fig. 22 に示す。ここに示した実験結果は、系の圧力が1気圧のもののみである。<sup>(15, 18, 19, 21, 31)</sup> ここでは、固定床による実験結果と流動床による実験結果<sup>(38)~(52)</sup> に区別して記入した。固定床の実験結果のうち、Hot wall arrangement であるものは、文献<sup>(31)</sup>だけであり、他はCold wall arrangement である。図中の横棒は、 $\text{H}_2/\text{MTS}$ の値の推定値を示す。また、破線は、系の圧力が1気圧の場合のCVD-状態図である。

Fig. 22に示した実験結果では、蒸着物組成は、 $\beta\text{-SiC} + \text{C}$ 、 $\beta\text{-SiC} + \text{Si}$ 、および $\beta\text{-SiC}$ の3種類であることがわかる。 $\beta\text{-SiC} + \text{C}$ が蒸着した領域は、熱力学計算により、 $\beta\text{-SiC} + \text{C}$ が蒸着すると予測された領域、および $\beta\text{-SiC}$ が蒸着すると予測された領域の高温部(約2000 K以上)である。 $\beta\text{-SiC} + \text{Si}$ が蒸着した領域は、 $\beta\text{-SiC}$ が蒸着すると予測された領域の低温部(約1700 K以下)である。 $\beta\text{-SiC}$ が蒸着した領域は、 $\beta\text{-SiC}$ が蒸着すると予測された領域の中温部(約1700~2000 K)、および $\beta\text{-SiC} + \text{C}$ が蒸着すると予測された領域の中温部(約1700~2000 K)である。 $\text{H}_2/\text{MTS}$ の値が不明であるためにFig. 22には示せなかつたが、蒸着温度が高い場合には $\beta\text{-SiC} + \text{C}$ が、低い場合には $\beta\text{-SiC} + \text{Si}$ が、その中間の温度の場合には $\beta\text{-SiC}$ が、それぞれ蒸着するという報告<sup>(22)~(24), (32), (33), (53)~(57)</sup> も数多い。また、遊離 $\text{Si}$ が蒸着する条件では、 $\beta\text{-SiC}$ の他に $\alpha\text{-SiC}$ が蒸着するという報告<sup>(47)</sup>もある。それぞれの実験により、実

験装置の型、蒸着温度測定方法、遊離CおよびSiの検出方法などが異なるにもかかわらず、これらの実験結果は、上に述べたように、同様な特徴を示している。

$\text{CH}_3\text{SiCl}_3-\text{H}_2$ 系において、実験結果と計算結果が異なるのは、つきの3点においてである。

- (i)  $\beta$ -SiC + Cが蒸着すると予測された領域の中温部(約1700~2000K)で、 $\beta$ -SiCが蒸着する。
- (ii)  $\beta$ -SiCが蒸着すると予測された領域の高温部(約2000K以上)で、 $\beta$ -SiC + Cが蒸着する。
- (iii)  $\beta$ -SiCが蒸着すると予測された領域の低温部(約1700K以上)で、 $\beta$ -SiC + Siが蒸着する。

これら3点のうち、(i)については、蒸着物が $\beta$ -SiC + Cであり、計算結果に一致している可能性もある。というのは、計算結果と異なるとされている実験条件(約1700~2000K,  $\text{H}_2/\text{MTS} > 13$ )では、Fig. 3に示したように、予測される遊離Cの量は5%以下であり、これらの実験で用いた化学分析またはX線回析では、遊離Cは検出されない可能性があるからである。

(ii)および(iii)は、蒸着機構を検討する上で、たいへん重要な結果である。

$\text{CH}_3\text{SiCl}_3-\text{H}_2-\text{Ar}$ 系の蒸着実験結果を、CVD-状態図とともに、Fig. 23およびFig. 24<sup>(38, 44, 49)</sup>に示す。これらは、流動床による実験結果である。図中の実線はCVD-状態図を、破線は遊離Cの収率が5%の位置を、それぞれ示している。ただし、Fig. 23およびFig. 24において、CVD-状態図は、それぞれ、 $(\text{H}_2+\text{Ar})/\text{MTS} = 30$ および50であるが、実験条件は、それぞれ、 $(\text{H}_2+\text{Ar})/\text{MTS} = 32$ および49である。

Fig. 23およびFig. 24に示した実験結果では、蒸着物組成は、 $\beta$ -SiCおよび $\beta$ -SiC + Cの2種類であることがわかる。 $\text{Ar}/(\text{H}_2+\text{Ar})$ モル比が100%の場合には、 $\beta$ -SiC + Cが蒸着し、計算結果と一致する。 $\beta$ -SiC + Cが蒸着すると予測された領域で、 $\beta$ -SiCが蒸着したものが、Fig. 23において3点、およびFig. 24において1点存在する。これら蒸着物の遊離Cの検出には、前者では密度測定を、後者ではX線回析を、それぞれ用いている。また、予測される遊離Cの量は、5%以下である。これらのことから、蒸着されたものは、 $\beta$ -SiCではなく、 $\beta$ -SiC + Cである可能性がある。

$\text{CH}_3\text{SiCl}_3-\text{H}_2-\text{Ar}$ 系の実験結果は少ないが、Fig. 23およびFig. 24に見る限り、実験結果と計算結果は、ほぼ一致していると言える。

## 5. 結 論

$\text{CH}_3\text{SiCl}_3-\text{H}_2-\text{Ar}$ の混合ガスからSiCが蒸着する機構を考察する第1歩として、 $\text{CH}_3\text{SiCl}_3-\text{H}_2-\text{Ar}$ 系の熱力学計算を行ない、CVD-状態図を得た。温度は1000K~2200K、 $(\text{H}_2+\text{Ar})/\text{MTS}$ は $1 \sim 10^6$ 、および $\text{Ar}/(\text{H}_2+\text{Ar})$ は0%~100%の範囲で計算した。圧力は1気圧とした。計算の結果、つきのことが明らかになった。

- 1)  $\text{CH}_3\text{SiCl}_3-\text{H}_2-\text{Ar}$ 系では、条件により、 $\beta$ -SiC、 $\beta$ -SiC + C(s)、 $\beta$ -SiC + Si(s)、Si(s)、Si(l)、またはC(s)が蒸着する領域がある。

験装置の型、蒸着温度測定方法、遊離CおよびSiの検出方法などが異なるにもかかわらず、これらの実験結果は、上に述べたように、同様な特徴を示している。

$\text{CH}_3\text{SiCl}_3-\text{H}_2$ 系において、実験結果と計算結果が異なるのは、つきの3点においてである。

- (i)  $\beta$ -SiC + Cが蒸着すると予測された領域の中温部(約1700~2000K)で、 $\beta$ -SiCが蒸着する。
- (ii)  $\beta$ -SiCが蒸着すると予測された領域の高温部(約2000K以上)で、 $\beta$ -SiC + Cが蒸着する。
- (iii)  $\beta$ -SiCが蒸着すると予測された領域の低温部(約1700K以上)で、 $\beta$ -SiC + Siが蒸着する。

これら3点のうち、(i)については、蒸着物が $\beta$ -SiC + Cであり、計算結果に一致している可能性もある。というのは、計算結果と異なるとされている実験条件(約1700~2000K,  $\text{H}_2/\text{MTS} > 13$ )では、Fig. 3に示したように、予測される遊離Cの量は5%以下であり、これらの実験で用いた化学分析またはX線回析では、遊離Cは検出されない可能性があるからである。

(ii)および(iii)は、蒸着機構を検討する上で、たいへん重要な結果である。

$\text{CH}_3\text{SiCl}_3-\text{H}_2-\text{Ar}$ 系の蒸着実験結果を、CVD-状態図とともに、Fig. 23およびFig. 24<sup>(38, 44, 49)</sup>に示す。これらは、流動床による実験結果である。図中の実線はCVD-状態図を、破線は遊離Cの収率が5%の位置を、それぞれ示している。ただし、Fig. 23およびFig. 24において、CVD-状態図は、それぞれ、 $(\text{H}_2+\text{Ar})/\text{MTS} = 30$ および50であるが、実験条件は、それぞれ、 $(\text{H}_2+\text{Ar})/\text{MTS} = 32$ および49である。

Fig. 23およびFig. 24に示した実験結果では、蒸着物組成は、 $\beta$ -SiCおよび $\beta$ -SiC + Cの2種類であることがわかる。 $\text{Ar}/(\text{H}_2+\text{Ar})$ モル比が100%の場合には、 $\beta$ -SiC + Cが蒸着し、計算結果と一致する。 $\beta$ -SiC + Cが蒸着すると予測された領域で、 $\beta$ -SiCが蒸着したものが、Fig. 23において3点、およびFig. 24において1点存在する。これら蒸着物の遊離Cの検出には、前者では密度測定を、後者ではX線回析を、それぞれ用いている。また、予測される遊離Cの量は、5%以下である。これらのことから、蒸着されたものは、 $\beta$ -SiCではなく、 $\beta$ -SiC + Cである可能性がある。

$\text{CH}_3\text{SiCl}_3-\text{H}_2-\text{Ar}$ 系の実験結果は少ないが、Fig. 23およびFig. 24に見る限り、実験結果と計算結果は、ほぼ一致していると言える。

## 5. 結 論

$\text{CH}_3\text{SiCl}_3-\text{H}_2-\text{Ar}$ の混合ガスからSiCが蒸着する機構を考察する第1歩として、 $\text{CH}_3\text{SiCl}_3-\text{H}_2-\text{Ar}$ 系の熱力学計算を行ない、CVD-状態図を得た。温度は1000K~2200K、 $(\text{H}_2+\text{Ar})/\text{MTS}$ は $1 \sim 10^6$ 、および $\text{Ar}/(\text{H}_2+\text{Ar})$ は0%~100%の範囲で計算した。圧力は1気圧とした。計算の結果、つきのことが明らかになった。

- 1)  $\text{CH}_3\text{SiCl}_3-\text{H}_2-\text{Ar}$ 系では、条件により、 $\beta$ -SiC、 $\beta$ -SiC + C(s)、 $\beta$ -SiC + Si(s)、Si(s)、Si(l)、またはC(s)が蒸着する領域がある。

- 2)  $\text{CH}_3\text{SiCl}_3\text{-Ar}$  系では、 $\beta\text{-SiC}$  単相領域は出現しない。
  - 3)  $\text{CH}_3\text{SiCl}_3\text{-H}_2$  系では、温度 1600 K~1900 K および  $\text{H}_2/\text{MTS} = 50\sim 500$  付近の領域で、 $\beta\text{-SiC}$  のみが効率よく蒸着する。
- また、これらの計算結果と報告されている蒸着実験結果とを比較した。その結果、つぎのこととが明らかになった。
- 4) C(s) が蒸着すると計算された領域では、C(s) が蒸着していた。
  - 5)  $\beta\text{-SiC}$  が蒸着すると計算された領域の高温部(約 2000K 以上)では、 $\beta\text{-SiC} + \text{C(s)}$  が蒸着していた。
  - 6)  $\beta\text{-SiC}$  が蒸着すると計算された領域の中温部(約 1700K ~ 約 2000K)では、 $\beta\text{-SiC}$  が蒸着していた。
  - 7)  $\beta\text{-SiC}$  が蒸着すると計算された領域の低温部(約 1700K 以下)では、 $\beta\text{-SiC} + \text{Si(s)}$  が蒸着していた。

現在のところ、内径 24 mm の小型流動床を用いた蒸着実験が進行中であり、ここで計算結果と比較することのできる実験データが蓄積されつつある。今後は、ここで得られた結果、および蒸着実験の結果を基に、SiC の蒸着機構について、新しい知見が得られるものと期待される。

## 謝 辞

計算プログラム SOLGASMIX-PV の使用法について御指導下さった、燃料照射研究室小川徹氏に深く感謝します。また、本報告書をまとめにあたり御激励を賜わった、燃料工学部長岩本多實氏に謝意を表します。

- 2)  $\text{CH}_3\text{SiCl}_3\text{-Ar}$  系では、 $\beta\text{-SiC}$  単相領域は出現しない。
- 3)  $\text{CH}_3\text{SiCl}_3\text{-H}_2$  系では、温度 1600 K~1900 K および  $\text{H}_2/\text{MTS} = 50\sim 500$  付近の領域で、 $\beta\text{-SiC}$  のみが効率よく蒸着する。

また、これらの計算結果と報告されている蒸着実験結果とを比較した。その結果、つぎのこととが明らかになった。

- 4) C(s) が蒸着すると計算された領域では、C(s) が蒸着していた。
- 5)  $\beta\text{-SiC}$  が蒸着すると計算された領域の高温部(約 2000 K 以上)では、 $\beta\text{-SiC} + \text{C(s)}$  が蒸着していた。
- 6)  $\beta\text{-SiC}$  が蒸着すると計算された領域の中温部(約 1700 K ~ 約 2000 K)では、 $\beta\text{-SiC}$  が蒸着していた。
- 7)  $\beta\text{-SiC}$  が蒸着すると計算された領域の低温部(約 1700 K 以下)では、 $\beta\text{-SiC} + \text{Si(s)}$  が蒸着していた。

現在のところ、内径 24 mm の小型流動床を用いた蒸着実験が進行中であり、ここで計算結果と比較することのできる実験データが蓄積されつつある。今後は、ここで得られた結果、および蒸着実験の結果を基に、SiC の蒸着機構について、新しい知見が得られるものと期待される。

## 謝 辞

計算プログラム SOLGASMIX-PV の使用法について御指導下さった、燃料照射研究室小川徹氏に深く感謝します。また、本報告書をまとめるにあたり御激励を賜わった、燃料工学部長岩本多實氏に謝意を表します。

## 参 考 文 献

- (1) R. Förthman, E. Gyarmati, J. Linke, and E. Wallura : High Temp. High Press., 14, 477 (1982)
- (2) R.J. Lauf : ORNL/TM-7393 (1980)
- (3) R. Benz, R. Förthmann, E. Gyarmati, P. Krautwasser, and A. Naoumidis : JüI-conf-36 (1980)
- (4) J. Schlichting : Powder Metall. Int., 12, 141 (1980), continued on 12, 196 (1980)
- (5) A.I. Kingon, L.J. Lutz, P. Liaw, and R.F. Davis : J. Am. Ceram. Soc., 66, 558 (1983)
- (6) T.M. Besmann : ORNL/TM-5775 (1977)
- (7) W.B. White, S.M. Johnson, and G.B. Dantzig : J. Chem. Phys., 28, 751 (1958)
- (8) G. Eriksson : Acta Chem. Scand., 25, 2651 (1971)
- (9) G. Eriksson and E. Rosén : Chemica Scripta., 4, 193 (1973)
- (10) G. Eriksson : Chemica Scripta., 8, 100 (1975)
- (11) D.R. Stull and H. Prophet : "JANAF Thermochemical Tables", Second Edition (1971), 1974 Supplement (1974), 1975 Supplement (1975), and 1978 Supplement (1978)
- (12) R. Hultgren, P.D. Desai, D.T. Hawkins, M. Gleiser, K.K. Kelly, and D.D. Wagman : "Selected Values of the Thermodynamic Properties of the Elements", American Society for Metals (1973)
- (13) M. Turpin and A. Robert : Proc. Br. Ceram. Soc., 22, 337 (1973)
- (14) F. Christin, R. Nastain, and C. Bernard : "Chemical Vapor Deposition 1979", The Electrochemical Soc., 499 (1979)
- (15) W. von Münch and E. Pettenpaul : J. Electrochem. Soc., 125, 294 (1978)
- (16) J. Chin, P.K. Gantzel, and R.G. Hudson : Thin Solid Films, 40, 57 (1977)
- (17) J. Chin and P.K. Ganzel : GA-A-13845 (1976)
- (18) A.C.W. van Kemenade and C.F. Stemfoort : J. Cristal Growth, 12, 13 (1972)
- (19) N. Setaka and Z. Inoue : J. Am. Ceram. Soc., 52, 624 (1969)
- (20) P. Popper and F.L. Riley : Proc. Br. Ceram. Soc., 7, 99 (1967)
- (21) M. Bonnke and E. Fitzer : Ber. Dtsch. Keram. Ges., 43, 180 (1966)
- (22) K. Masato : Nippon Kinzoku Gakkai-shi, 42, 131 (1978)
- (23) M.J. Chappel and R.S. Millman : J. Mater. Sci., 9, 1933 (1974)

- (24) D.E. Lloyd and V.C. Howard : "Special Ceramics 4", The British Ceramic Research Association, 103 (1968)
- (25) E. Fitzer and D. Hegen : Angewandte Chemie, 91, 316 (1979)
- (26) H. Beutler, S. Oesterle, and K.K. Yee : "Chemical Vapor Deposition 1975", The Electrochemical Soc., 749 (1975)
- (27) A.C. Airey, P.J. Cartwright, and P. Popper : "Special Ceramics 6", The British Ceramic Research Association, 147 (1974)
- (28) J.L. Randon, G. Slama, and A. Vignes : "Silicon Carbide - 1973", University of South Carolina Press, 368 (1974)
- (29) E. Phillips and K. Lukas : AECL-3674 (1971)
- (30) R.L. Hough : J. Polymer Sci., Pt.C, 19, 183 (1967)
- (31) F. Kobayashi, K. Ikawa, and K. Iwamoto : J. Crystal Growth, 28, 395 (1975)
- (32) R.J. Weiss and R.J. Diefendorf : "Silicon Carbide - 1973", University of South Carolina Press, 80 (1973)
- (33) R.J. Weiss and R.J. Diefendorf : "Chemical Vapor Deposition 1973", The Electrochemical Soc., 488 (1973)
- (34) L. Aggour, E. Fitzer, M. Heym, and E. Ignatowitz : Thin Solid Films, 40, 97 (1977)
- (35) E. Fitzer, D. Kehr, D. Morin, and M. Sahebkar : "Chemical Vapor Deposition 1975", The Electrochemical Soc., 589 (1975)
- (36) L. Aggour, E. Fitzer, E. Ignatowitz, and Sahebkar : Carbon, 12, 358 (1974)
- (37) W.F. Knippenberg, G. Verspui, and A.W.C. van Kemenade : "Silicon Carbide - 1973", University of South Carolina Press, 92 (1973)
- (38) A. Naoumidis, R. Benz, and J. Rottmann : High Temp. High Press., 14, 53 (1982)
- (39) R.J. Lauf and D.N. Broski : ORNL/TM-7209 (1980)
- (40) R.J. Lauf and D.N. Broski : ORNL/TM-7571 (1981)
- (41) J.I. Feder : Thin Solid Films, 40, 89 (1977)
- (42) J.I. Feder : ORNL/TM-5152 (1977)
- (43) G. Uny and J.P. Morlevat : J. Nucl. Mater., 71, 140 (1977)
- (44) R. Förthmann and Gyarmati : J. Nucl. Mater., 58, 189 (1975)
- (45) M. Akita, T. Iseki, and H. Suzuki : Bull. Tokyo Inst. Technol., 127, 83 (1975)
- (46) E. Erben and H. Hausner : EUR-4946e (1973)
- (47) F. Holub : SGAE BER, No.2195 (1973)
- (48) L.H. Ford, D.E. Walker, and F. Furguson : "Special Ceramics 5",

The British Ceramic Research Association, 49 (1972)

- (49) E. Gyarmati and H. Nickel : JüI-900-RW (1972)
- (50) E.H. Voice and V.C. Scott : "Special Ceramics 5", The British Ceramic Research Association, 1 (1971)
- (51) L.H. Ford, N.S. Hibbert, B.E. Ingleby, and D.E.Y. Walker : "Special Ceramics 4", The British Ceramic Research Association, 121 (1968)
- (52) L.H. Ford, N.S. Hibbert, B.E. Ingleby, and D.E.Y. Walker : TRG-R 1544(S) (1967)
- (53) P. Krautwasser, G.M. Begun, and P. Angelini : J. Am. Ceram. Soc., 66, 424 (1983)
- (54) D.P. Stinton and W.J. Lackey : Am. Ceram. Soc. Bull., 57, 568 (1978)
- (55) D.P. Stinton and W.J. Lackey : ORNL/TM-5743 (1977)
- (56) L.H. Ford, N.S. Hibbert, and D.G. Martin : J. Nucl. Mater., 45, 139 (1972/3)
- (57) T.D. Gulden : J. Am. Ceram. Soc., 51, 424 (1968)
- (58) R.J. Price : Nucl. Technol., 35, 320 (1977)
- (59) L. Aggor and W. Fritz : Chemie-Ing.-Techn., 43, 472 (1971)
- (60) D.E.Y. Walker : "Special Ceramics 5", The British Ceramic Research Association, 33 (1971)
- (61) D.E.Y. Walker : TRG-2052(S) (1970)
- (62) R.J. Price : Am. Ceram. Soc. Bull., 48, 859 (1969)
- (63) K.W. Carley-Macauly, J.W. Myles, and G.H. Williams : "Carbides in Nuclear Energy", Vol.2, Macmillan and Co. Ltd., 826 (1963)

Table 1 Species considered in the calculation.

Gas phase		Condensed phase
Ar	CHCl	Si
H <sub>2</sub>	CHCl <sub>3</sub>	$\alpha$ -SiC
H	CH <sub>2</sub> Cl <sub>2</sub>	$\beta$ -SiC
HCl	CH <sub>3</sub> Cl	C (graphite)
Cl <sub>2</sub>	C <sub>2</sub> HCl	
Cl	CH	
SiH	CH <sub>2</sub>	
SiH <sub>4</sub>	CH <sub>3</sub>	
SiCl	CH <sub>4</sub>	
SiCl <sub>2</sub>	C <sub>2</sub> H	
SiCl <sub>3</sub>	C <sub>2</sub> H <sub>2</sub>	
SiCl <sub>4</sub>	C <sub>2</sub> H <sub>4</sub>	
SiHCl <sub>3</sub>	C	
SiH <sub>2</sub> Cl <sub>2</sub>	SiC <sub>2</sub>	
SiH <sub>3</sub> Cl	Si <sub>2</sub> C	
CCl	SiC	
CCl <sub>2</sub>	Si	
CCl <sub>3</sub>	Si <sub>2</sub>	
CCl <sub>4</sub>	Si <sub>3</sub>	

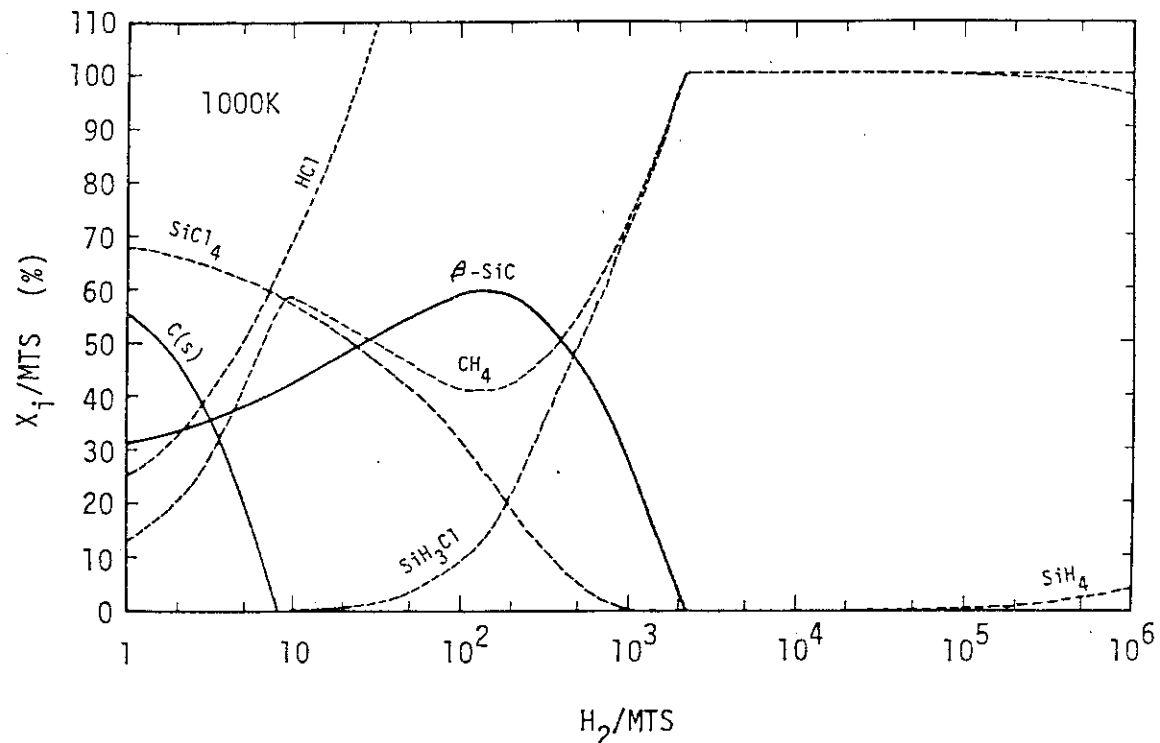


Fig. 1 Equilibrium composition of vapor and condensed phases in the H<sub>2</sub>-MTS system at 1000K and 1atm.

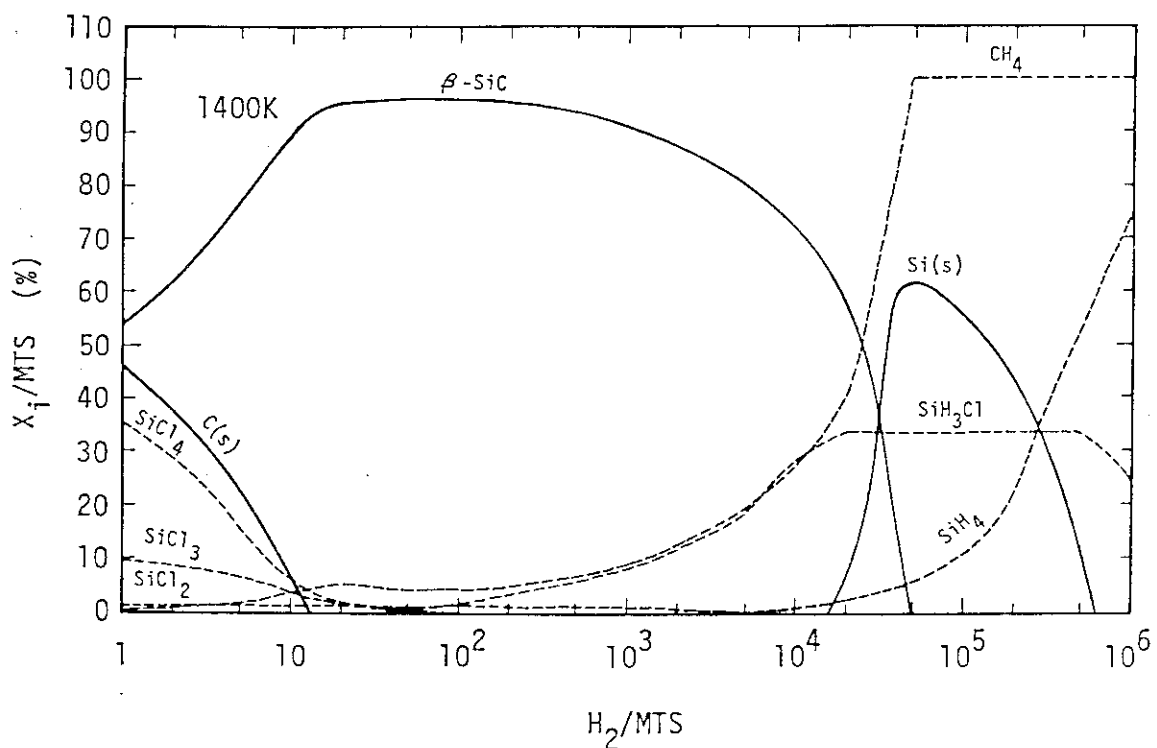


Fig. 2 Equilibrium composition of vapor and condensed phases in the H<sub>2</sub>-MTS system at 1400K and 1atm.

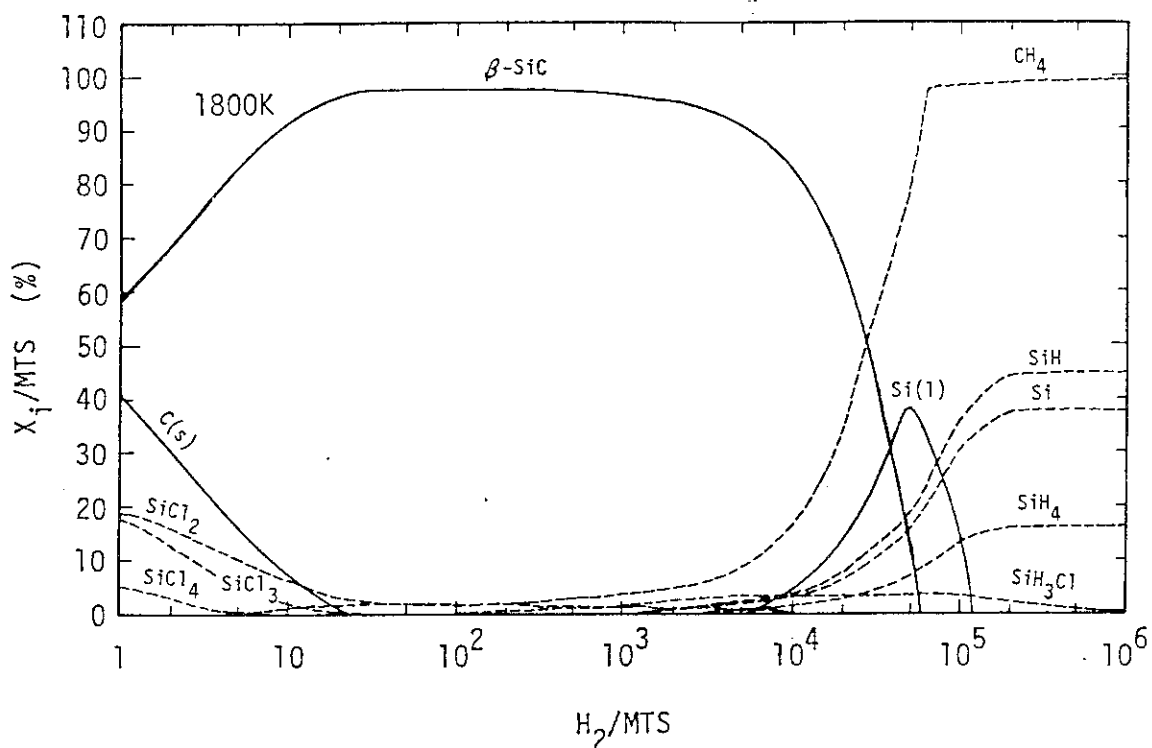


Fig. 3 Equilibrium composition of vapor and condensed phases in the  $\text{H}_2$ -MTS system at 1800K and 1atm.

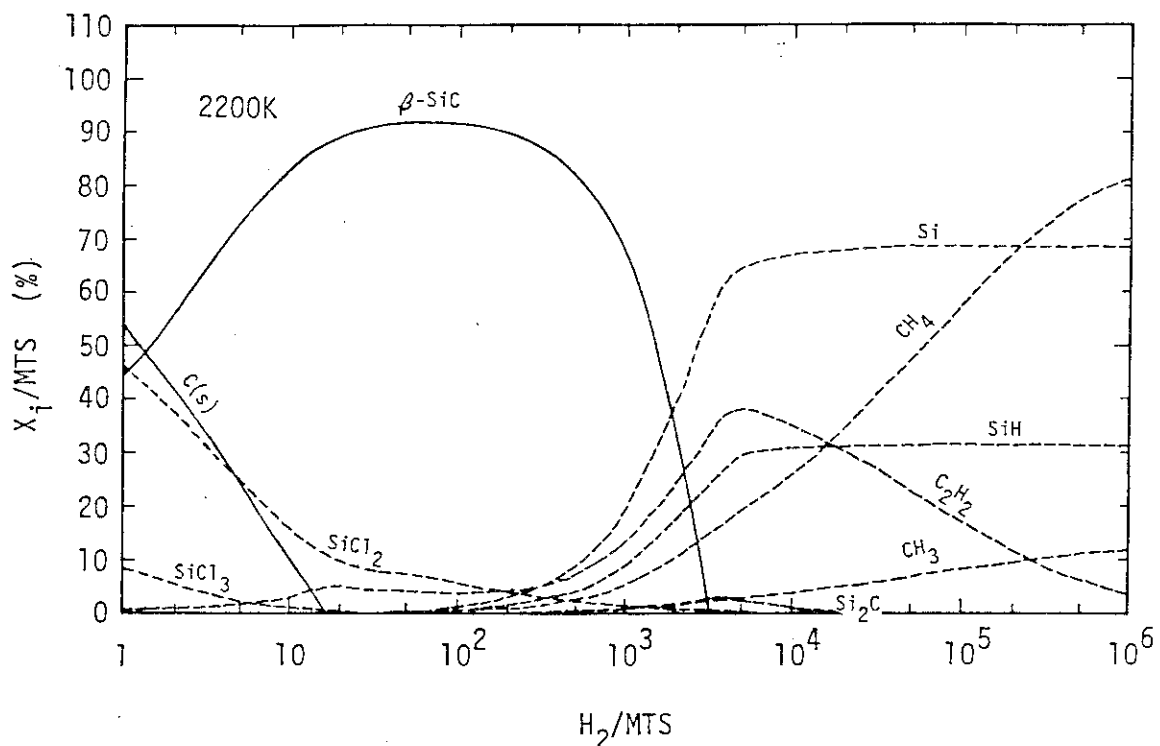
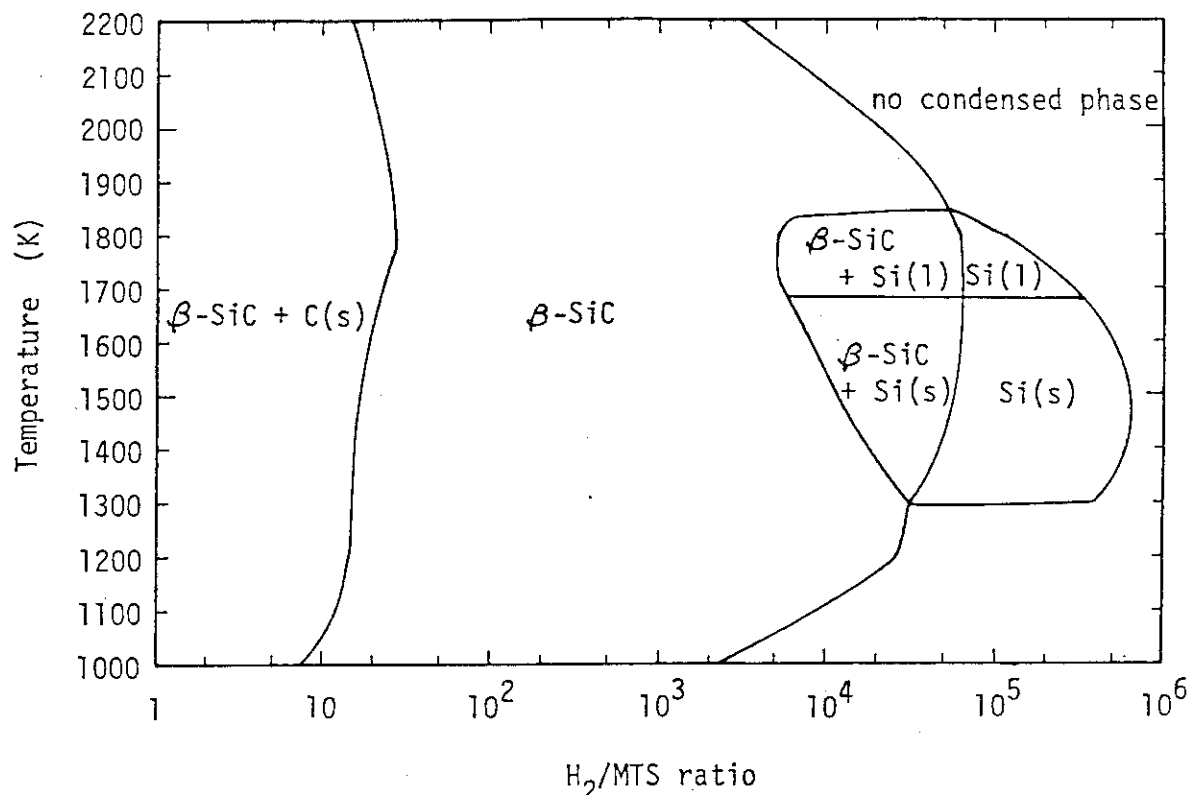
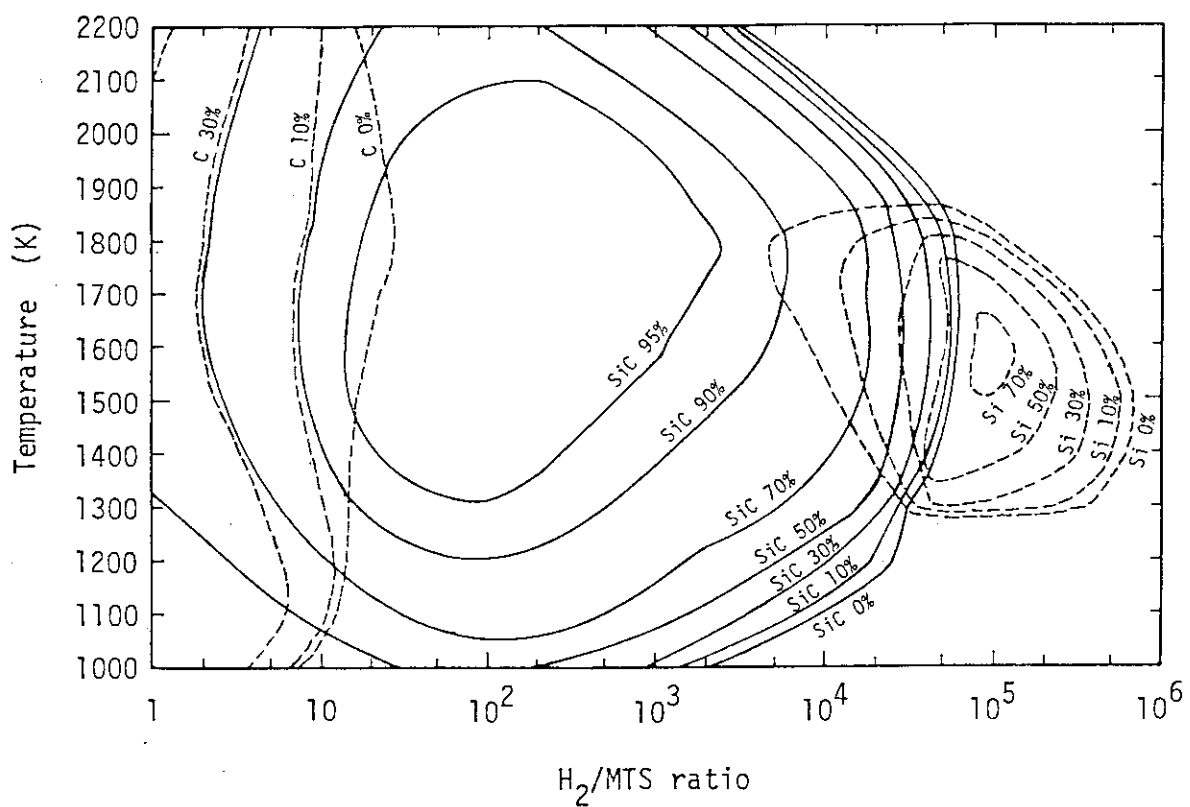


Fig. 4 Equilibrium composition of vapor and condensed phases in the  $\text{H}_2$ -MTS system at 2200K and 1atm.

Fig. 5 CVD phase diagram for the  $\text{H}_2$ -MTS system at 1atm.Fig. 6 Isoefficiency lines for the deposition of condensed phases in the  $\text{H}_2$ -MTS system at 1atm.

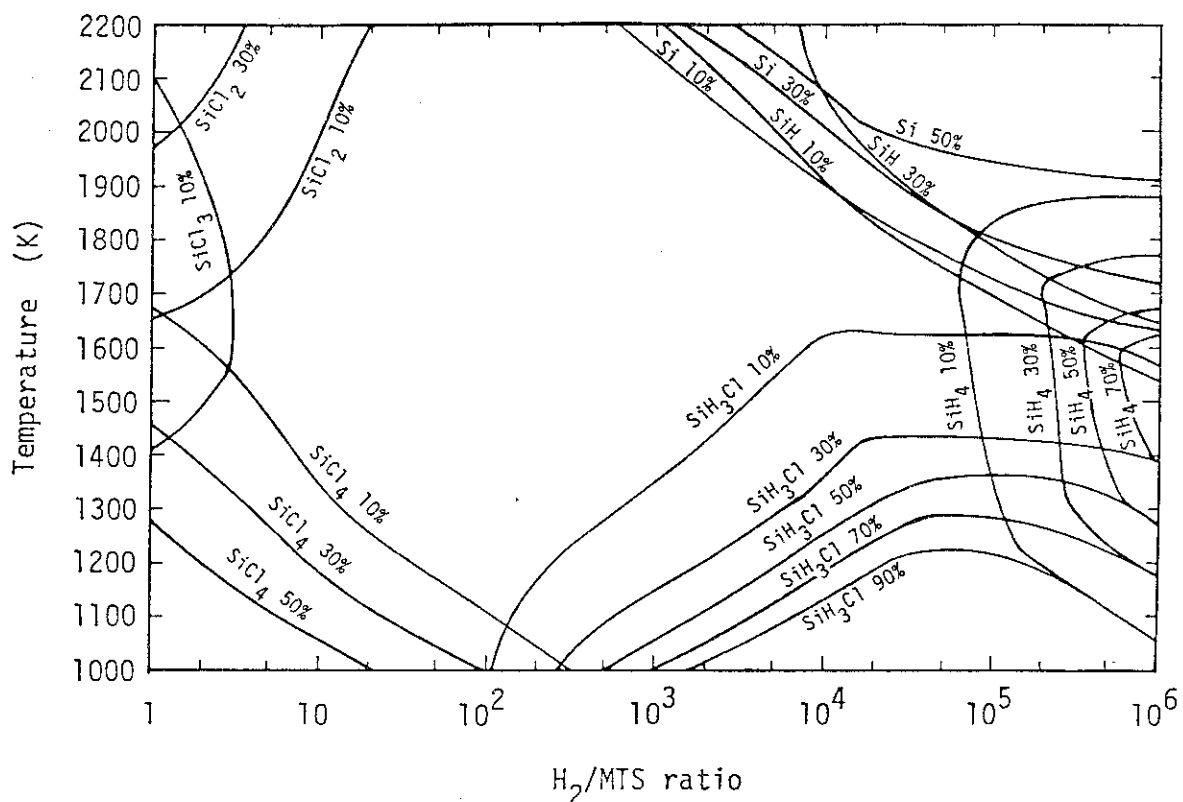


Fig. 7 Isoefficiency lines for the Si containing gaseous species in the  $\text{H}_2$ -MTS system at 1 atm.

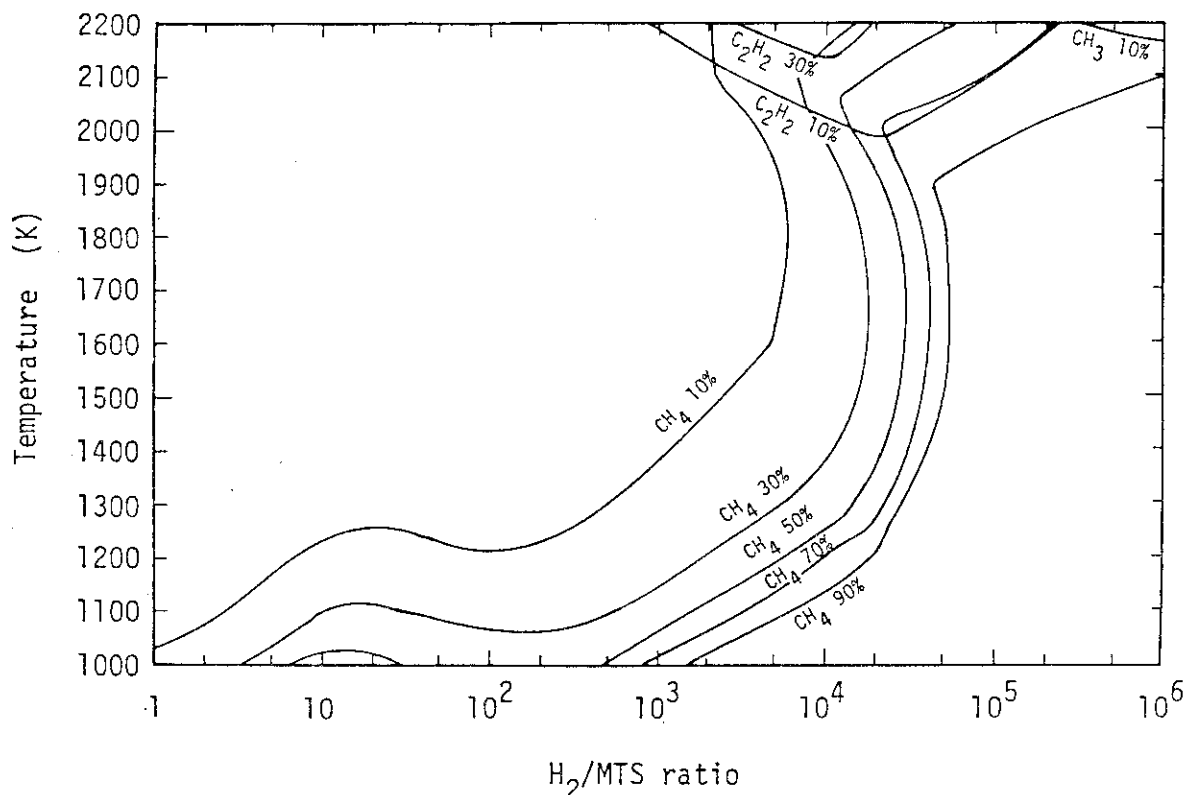
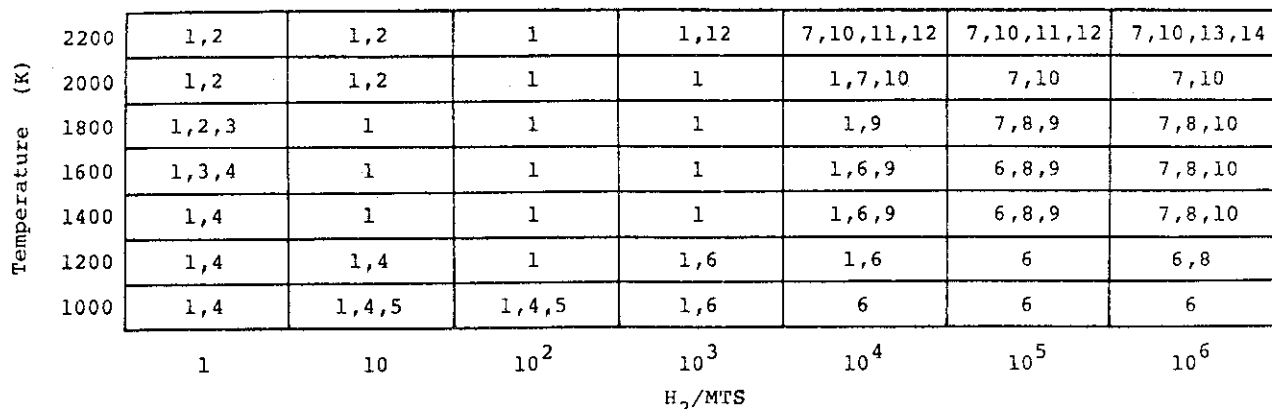


Fig. 8 Isoefficiency lines for the C containing gaseous species in the  $\text{H}_2$ -MTS system at 1 atm.



1.  $CH_3SiCl_3(g) \longrightarrow SiC(s) + 3HCl(g)$
2.  $CH_3SiCl_3(g) \longrightarrow C(s) + SiCl_2(g) + HCl(g) + H_2(g)$
3.  $CH_3SiCl_3(g) \longrightarrow C(s) + SiCl_3(g) + \frac{3}{2}H_2(g)$
4.  $CH_3SiCl_3(g) + HCl(g) \longrightarrow C(s) + SiCl_4(g) + 2H_2(g)$
5.  $CH_3SiCl_3(g) + HCl(g) \longrightarrow CH_4(g) + SiCl_4(g)$
6.  $CH_3SiCl_3(g) + 3H_2(g) \longrightarrow SiH_3Cl(g) + CH_4(g) + 2HCl(g)$
7.  $CH_3SiCl_3(g) + \frac{5}{2}H_2(g) \longrightarrow SiH(g) + CH_4(g) + 3HCl(g)$
8.  $CH_3SiCl_3(g) + 4H_2(g) \longrightarrow SiH_4(g) + CH_4(g) + 3HCl(g)$
9.  $CH_3SiCl_3(g) + 2H_2(g) \longrightarrow Si(s,1) + CH_4(g) + 3HCl(g)$
10.  $CH_3SiCl_3(g) + 2H_2(g) \longrightarrow Si(g) + CH_4(g) + 3HCl(g)$
11.  $CH_3SiCl_3(g) + H_2(g) \longrightarrow SiH(g) + \frac{1}{2}C_2H_2(g) + 3HCl(g)$
12.  $CH_3SiCl_3(g) + \frac{1}{2}H_2(g) \longrightarrow Si(g) + \frac{1}{2}C_2H_2(g) + 3HCl(g)$
13.  $CH_3SiCl_3(g) + 2H_2(g) \longrightarrow SiH(g) + CH_3(g) + 3HCl(g)$
14.  $CH_3SiCl_3(g) + \frac{3}{2}H_2(g) \longrightarrow Si(g) + CH_3(g) + 3HCl(g)$

Fig. 9 Overall equations in the  $H_2$ -MTS system at 1atm.

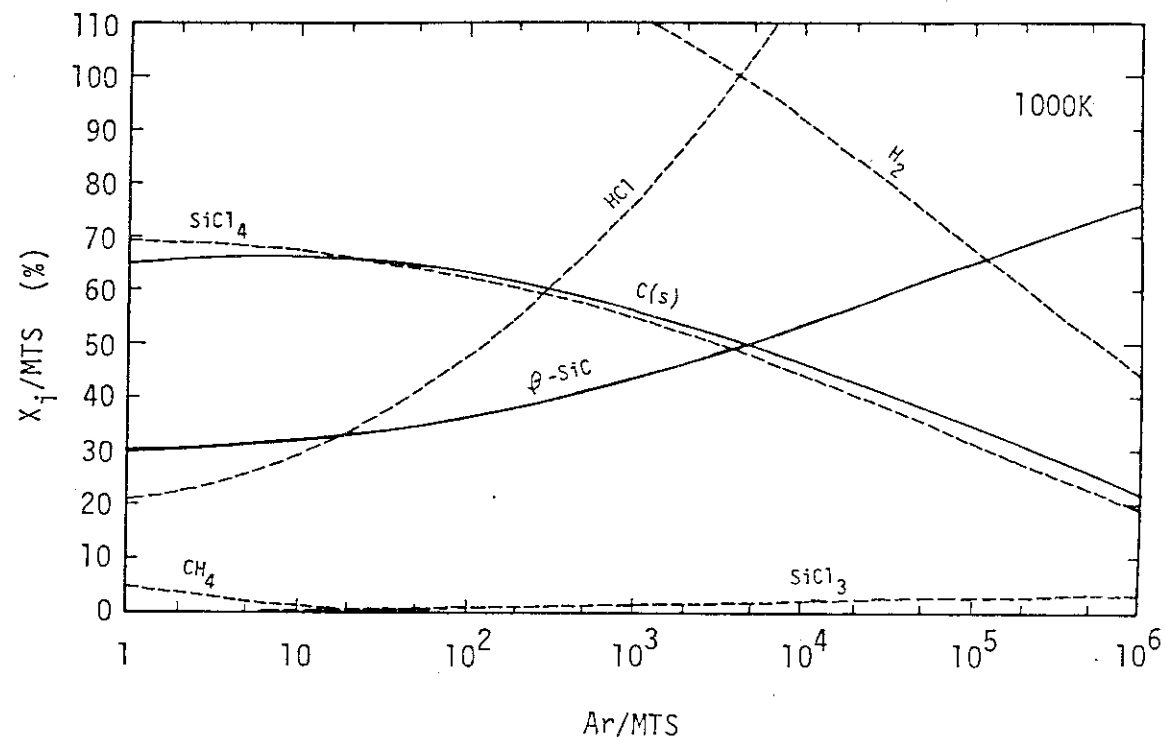


Fig. 10 Equilibrium composition of vapor and condensed phases in the Ar-MTS system at 1000K and 1atm.

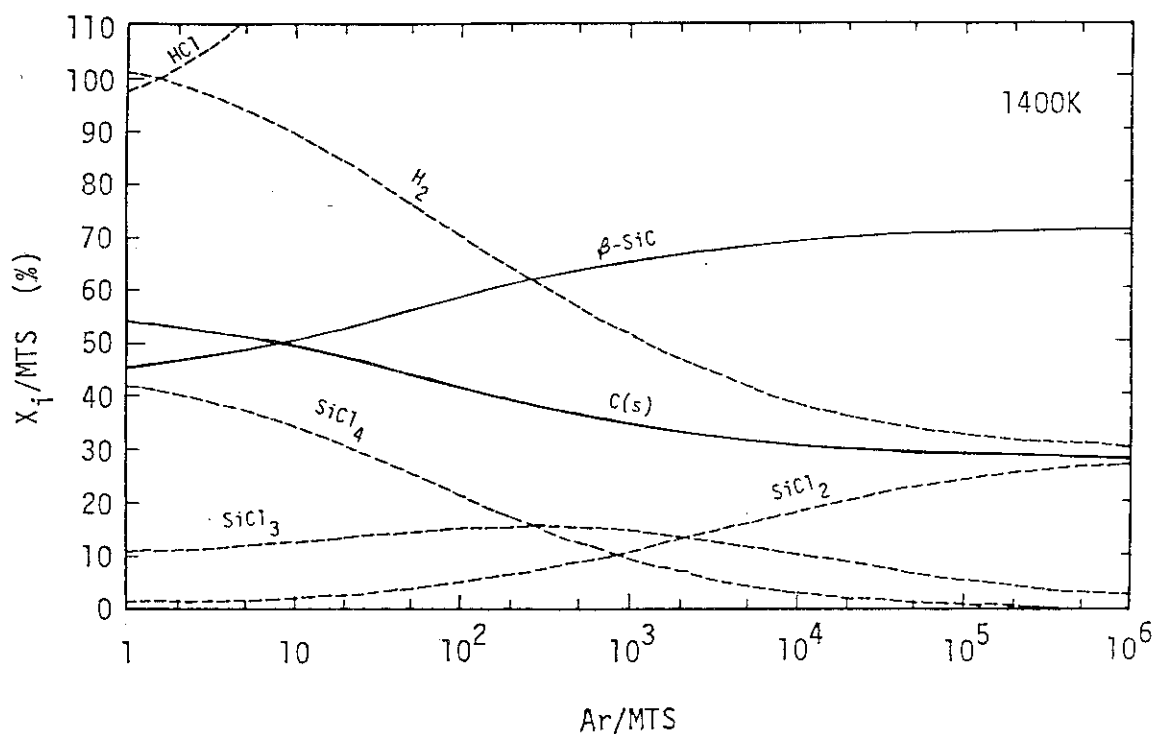


Fig. 11 Equilibrium composition of vapor and condensed phases in the Ar-MTS system at 1400K and 1atm.

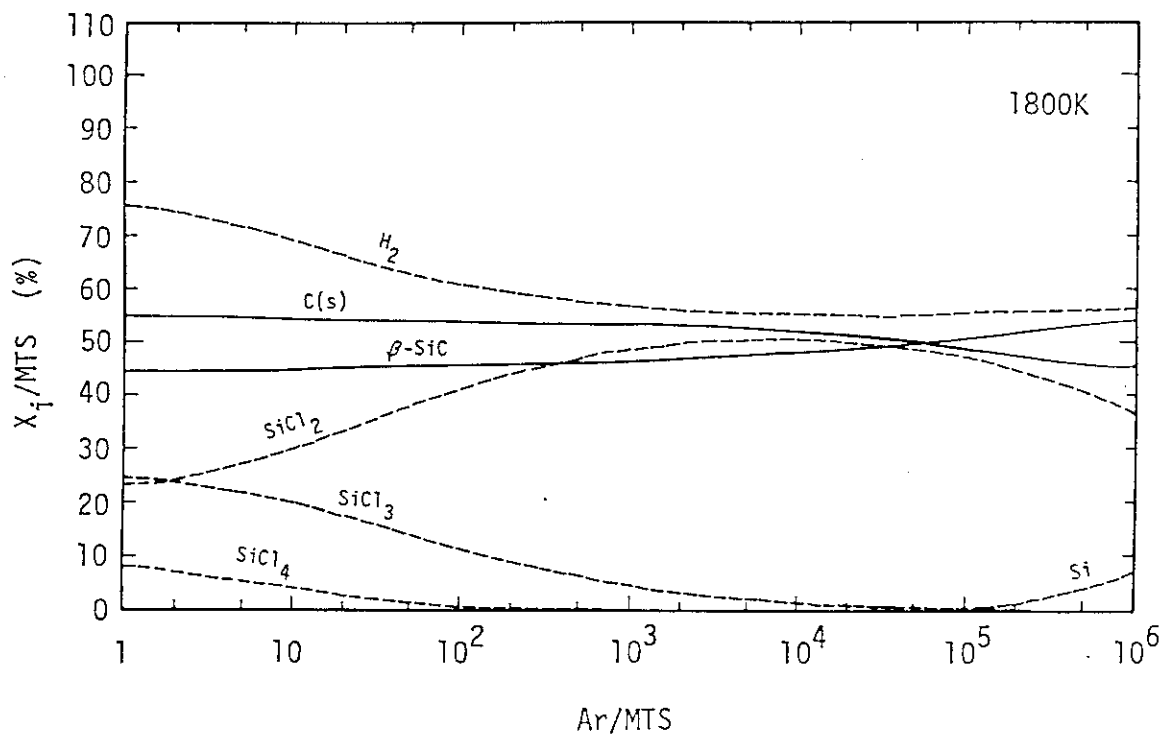


Fig. 12 Equilibrium composition of vapor and condensed phases in the Ar-MTS system at 1800K and 1atm.

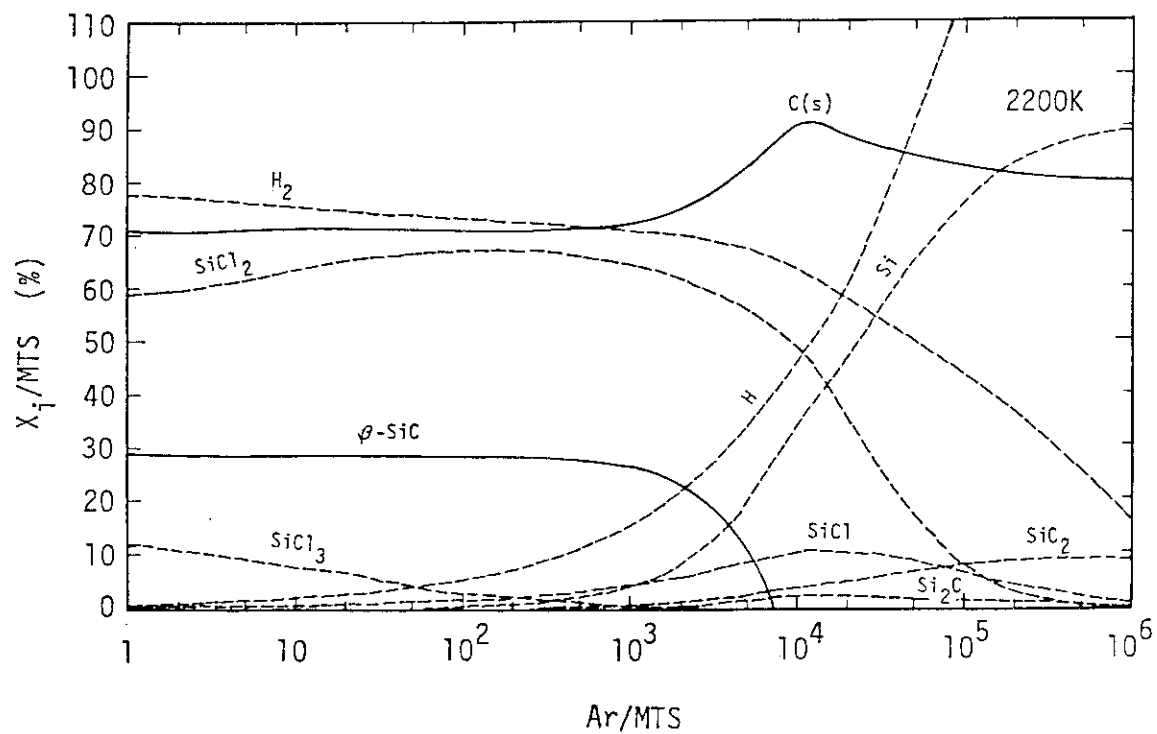


Fig. 13 Equilibrium composition of vapor and condensed phases in the Ar-MTS system at 2200K and 1atm.

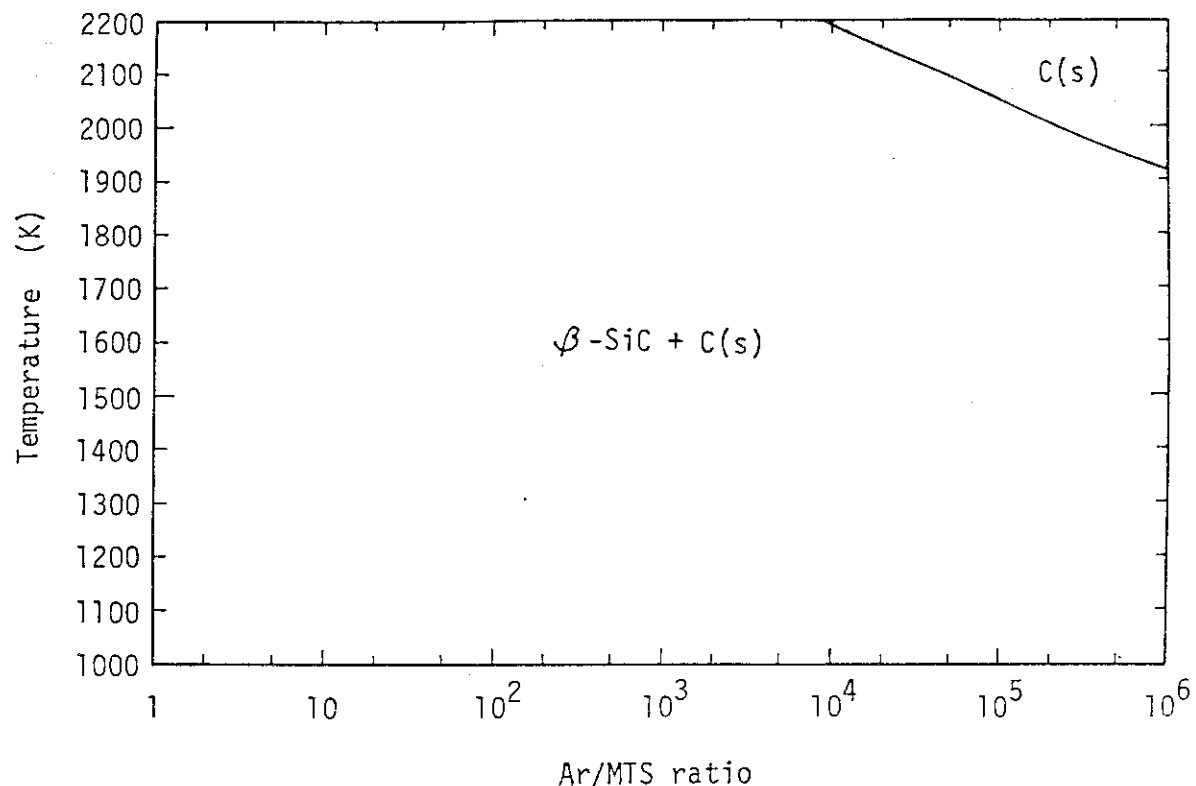
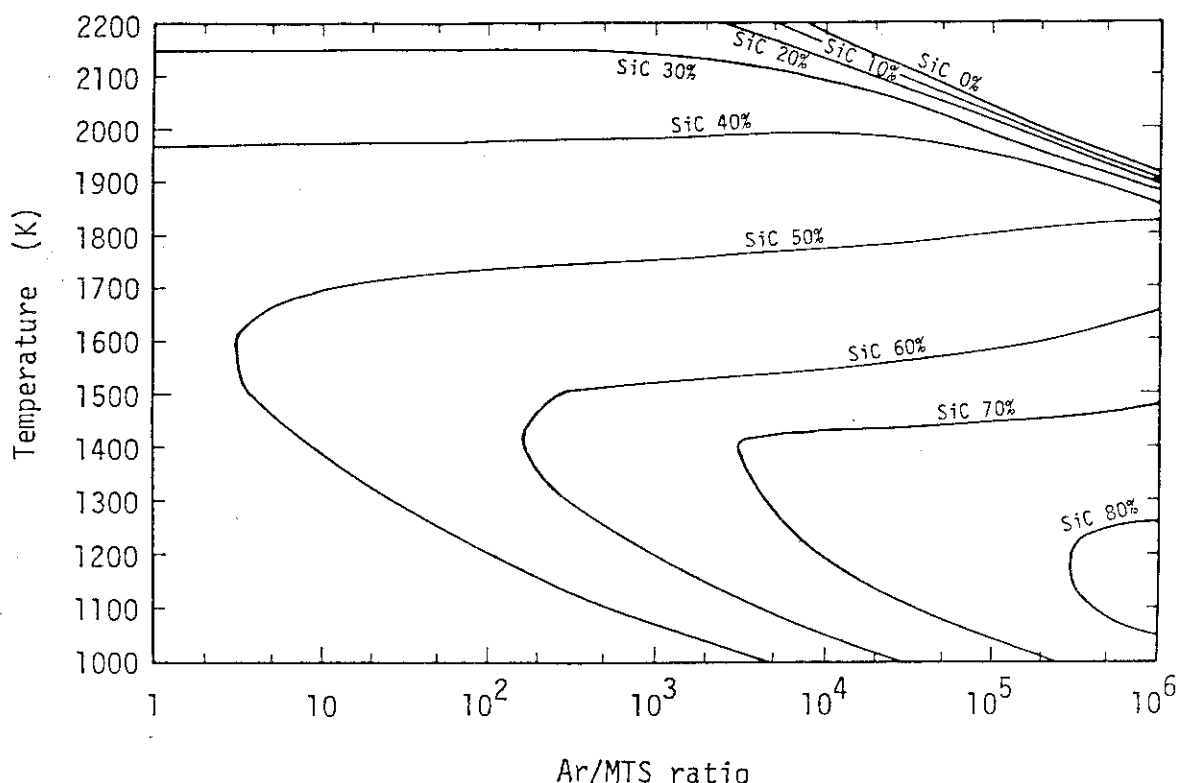


Fig. 14 CVD phase diagram for the Ar-MTS system at 1 atm.

Fig. 15 Isoefficiency lines for the deposition of  $\beta\text{-SiC}$  in the Ar-MTS system at 1 atm.

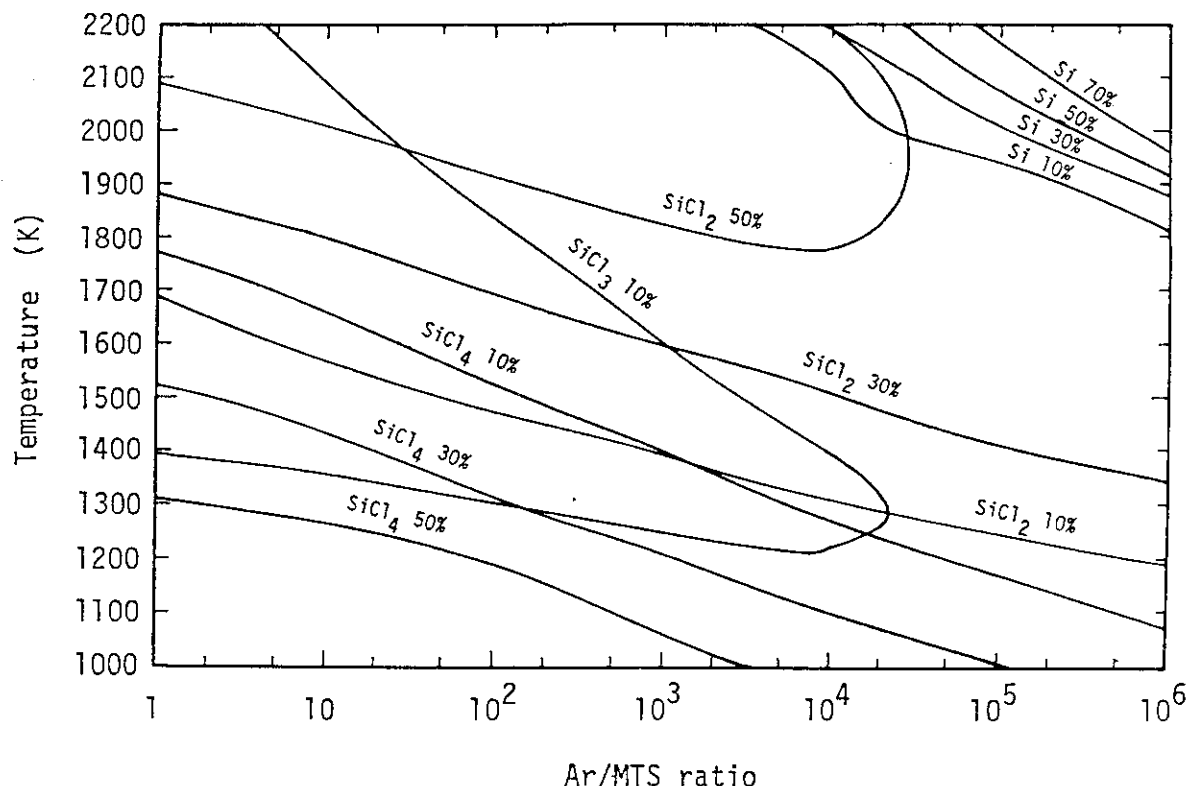
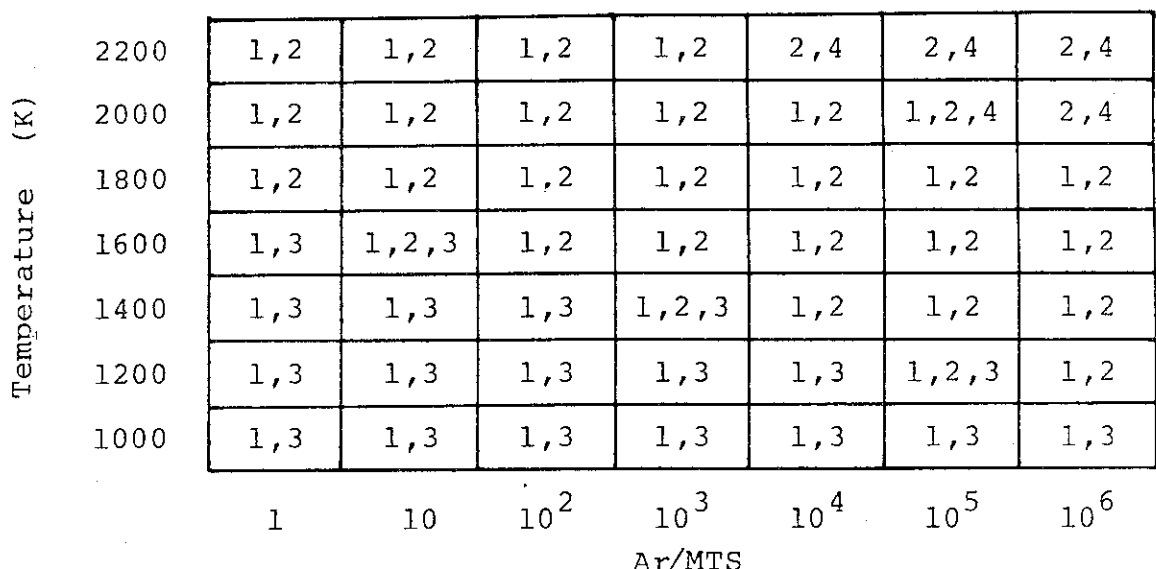


Fig. 16 Isoefficiency lines for the gaseous species in the Ar-MTS system at 1atm.



1.  $\text{CH}_3\text{SiCl}_3(\text{g}) \longrightarrow \text{SiC}(\text{s}) + 3\text{HCl}(\text{g})$
2.  $\text{CH}_3\text{SiCl}_3(\text{g}) \longrightarrow \text{C}(\text{s}) + \text{SiCl}_2(\text{g}) + \text{HCl}(\text{g}) + \text{H}_2(\text{g})$
3.  $\text{CH}_3\text{SiCl}_3(\text{g}) + \text{HCl}(\text{g}) \longrightarrow \text{C}(\text{s}) + \text{SiCl}_4(\text{g}) + 2\text{H}_2(\text{g})$
4.  $\text{CH}_3\text{SiCl}_3(\text{g}) \longrightarrow \text{C}(\text{s}) + \text{Si}(\text{g}) + 3\text{HCl}(\text{g})$

Fig. 17 Overall equations in the Ar-MTS system at 1atm.

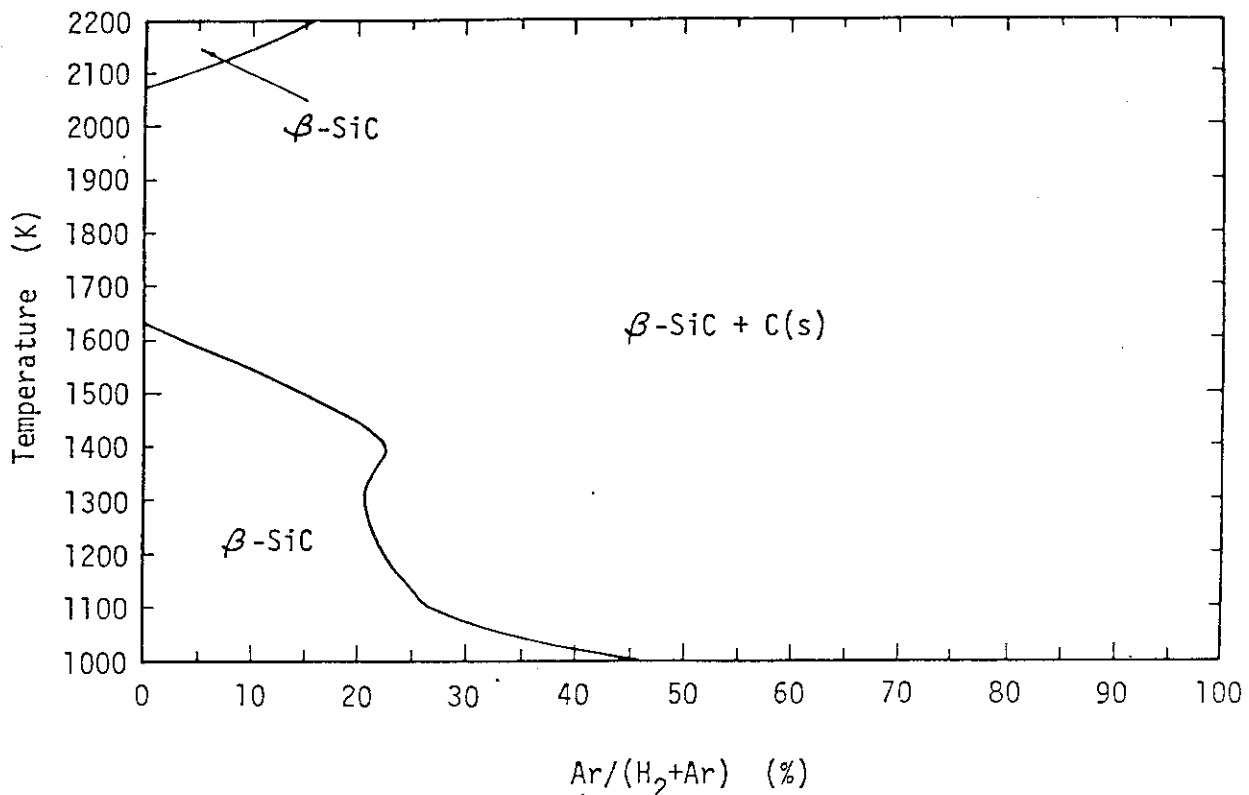


Fig. 18 CVD phase diagram for the  $\text{H}_2\text{-Ar-MTS}$  system at 1atm and  
 $(\text{H}_2\text{+Ar})/\text{MTS}=20$ .

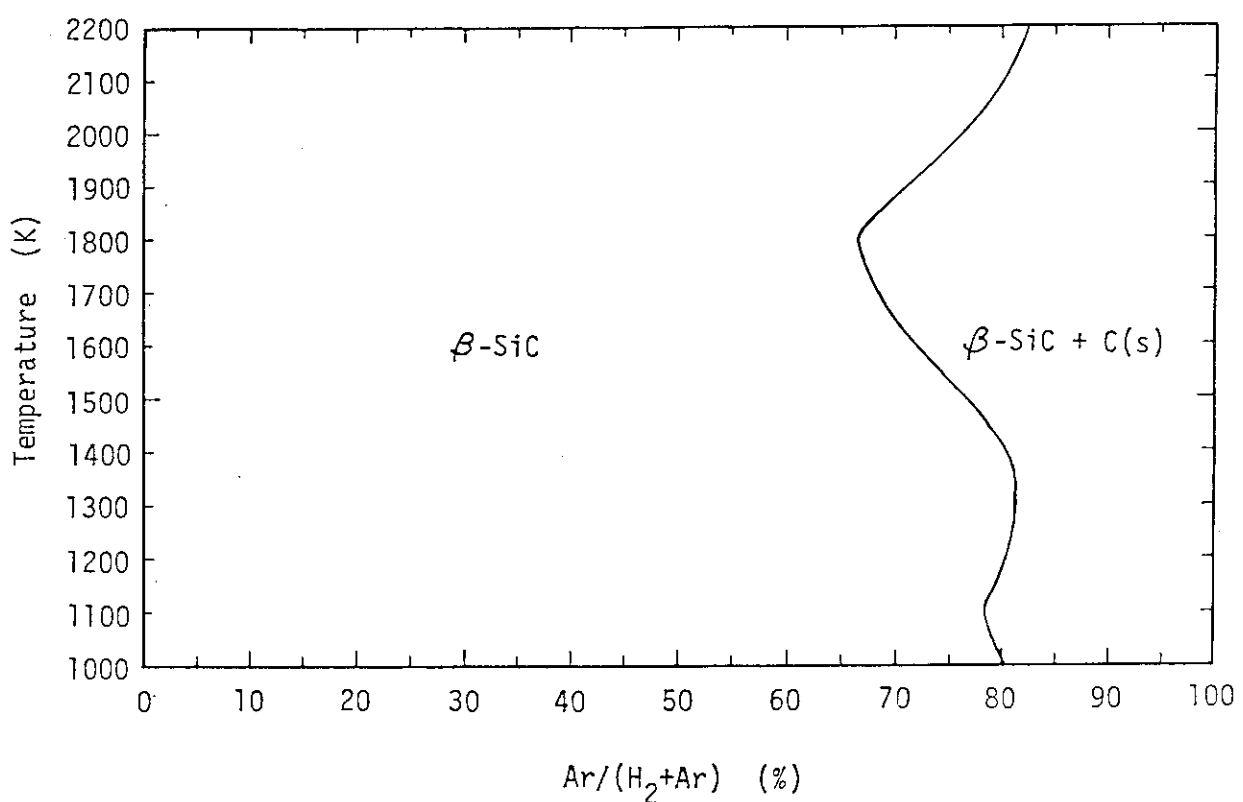


Fig. 19 CVD phase diagram for the  $\text{H}_2\text{-Ar-MTS}$  system at 1atm and  
 $(\text{H}_2\text{+Ar})/\text{MTS}=10^2$ .

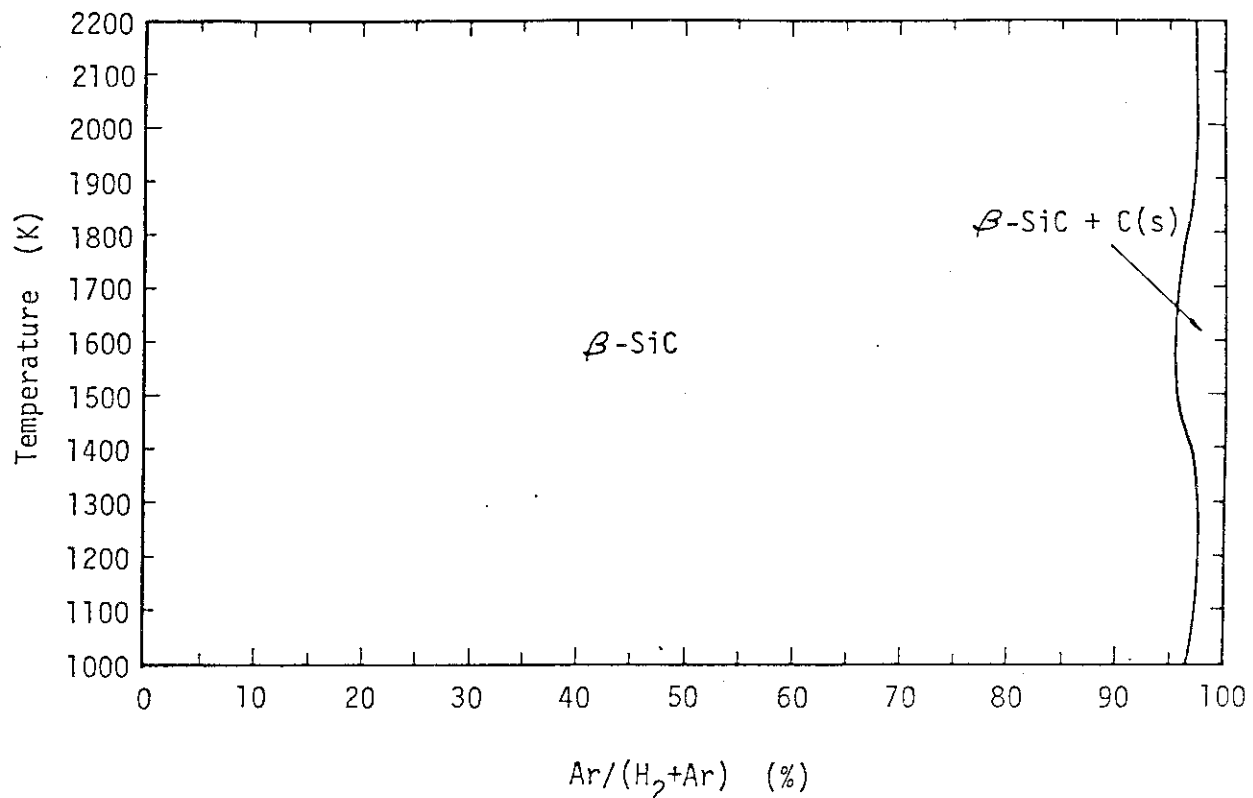


Fig. 20 CVD phase diagram for the H<sub>2</sub>-Ar-MTS system at 1atm and (H<sub>2</sub>+Ar)/MTS=10<sup>3</sup>.

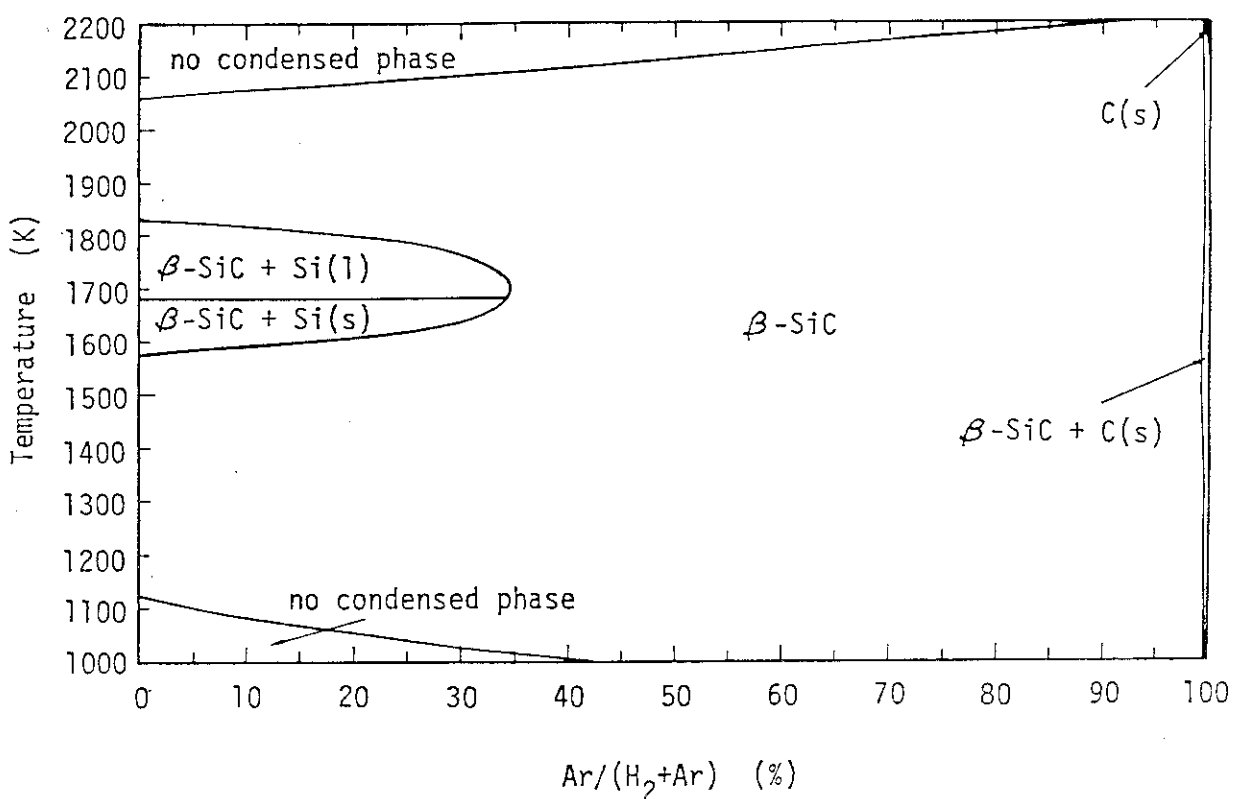


Fig. 21 CVD phase diagram for the H<sub>2</sub>-Ar-MTS system at 1atm and (H<sub>2</sub>+Ar)/MTS=10<sup>4</sup>.

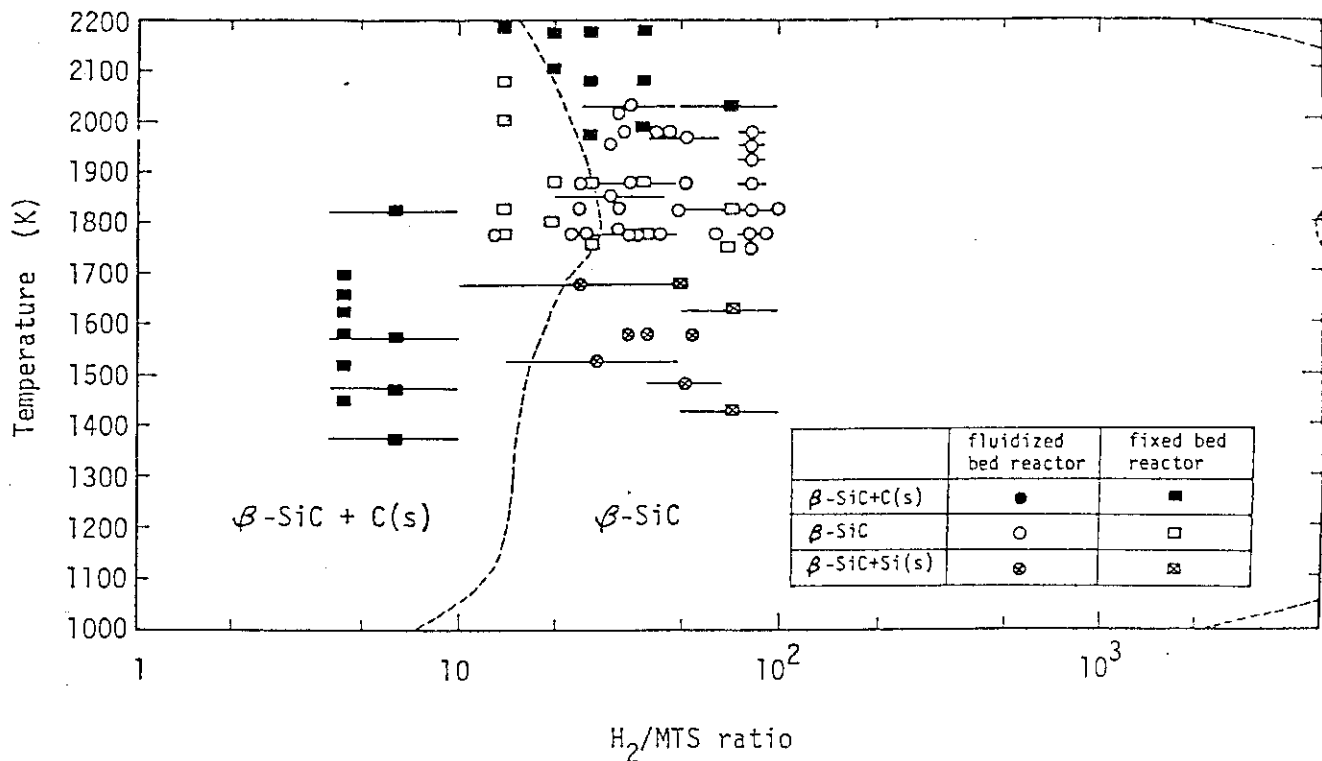


Fig. 22 Comparison between calculated CVD Phase diagram and experimental results in the  $H_2$ -MTS system at 1atm.

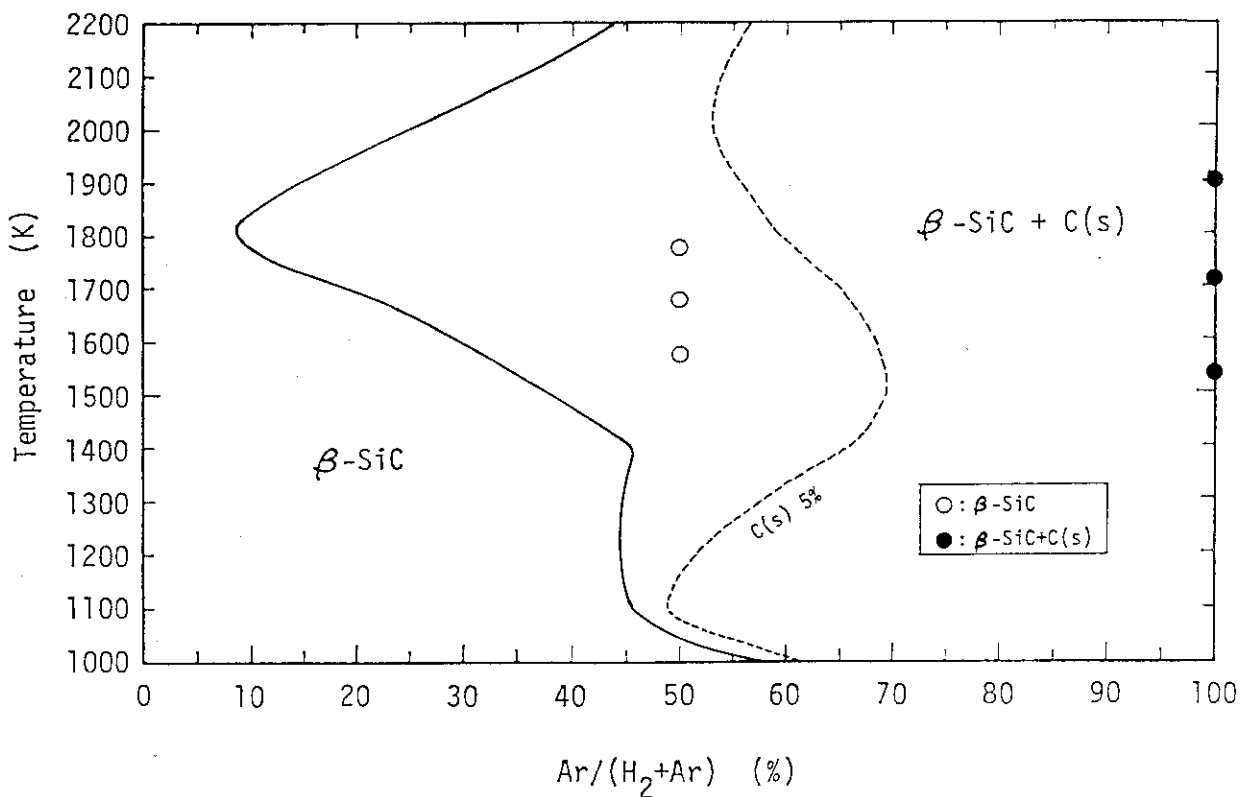


Fig. 23 Comparison between calculated CVD phase diagram and experimental results in the  $H_2$ -Ar-MTS system at 1atm and  $(H_2+Ar)/MTS=30$ .

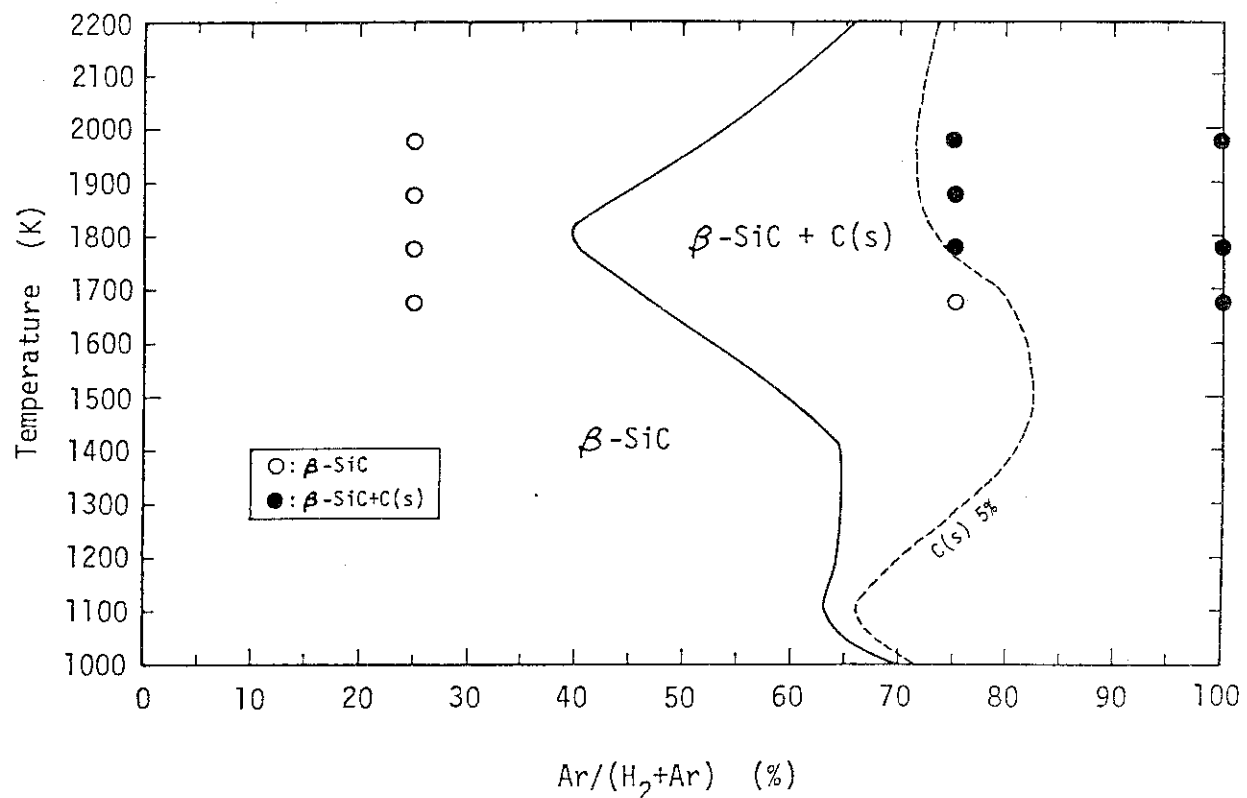


Fig. 24 Comparison between calculated CVD phase diagram and experimental results in the  $\text{H}_2\text{-Ar-MTS}$  system at 1 atm and  $(\text{H}_2+\text{Ar})/\text{MTS}=50$ .